LIDIANE CAMILA RUEDA

AVALIAÇÃO DE POLIMORFISMOS NOS GENES CYP1A1, CYP2D6 E CYP19 EM UMA AMOSTRA DE PACIENTES COM CÂNCER DE MAMA ESPORÁDICO

CAMPINAS

Unicamp

2008

LIDIANE CAMILA RUEDA

AVALIAÇÃO DE POLIMORFISMOS NOS GENES CYP1A1, CYP2D6 E CYP19 EM UMA AMOSTRA DE PACIENTES COM CÂNCER DE MAMA ESPORÁDICO

Dissertação de Mestrado apresentada à Pós-Graduação da Faculdade de Ciências Médicas da Universidade Estadual de Campinas para obtenção do título de Mestre em Farmacologia

ORIENTADORA: PROFA. DRA. CARMEN SÍLVIA BERTUZZO

CO-ORIENTADOR: PROF. DR. LUÍS ALBERTO MAGNA

CAMPINAS

Unicamp

2008

FICHA CATALOGRÁFICA ELABORADA PELA BIBLIOTECA DA FACULDADE DE CIÊNCIAS MÉDICAS DA UNICAMP

Bibliotecário: Sandra Lúcia Pereira - CRB-8ª / 6044

Rueda, Lidiane Camila

R836a

Avaliação de polimorfismos nos genes CYP1A1, CYP2D6 e CYP19 em uma amostra de pacientes com câncer de mama esporádico / Lidiane Camila Rueda. Campinas, SP: [s.n.], 2008.

Orientador : Carmen Sílvia Bertuzzo, Luís Roberto Magna Dissertação (Mestrado) Universidade Estadual de Campinas. Faculdade de Ciências Médicas.

1. Mamas - cancer. 2. Citocromo P- 450. I. Bertuzzo, Carmen Sílvia. II. Magna, Luís Roberto. III. Universidade Estadual de Campinas. Faculdade de Ciências Médicas. IV. Título.

Título em inglês: Evaluation of polymorphism in the genes CYP1A1, CYP2D6 and CYP19 in patients with cancer of sporadic breast

Keywords: • Breast - neoplasm

Cytochrome P-450 Enzyme System

Titulação: Mestre em Farmacologia

Banca examinadora:

Profa. Dra. Carmen Sílvia Bertuzzo Prof. Dr. Carlos Eduardo Steiner Profa. Dra. Ester Silveira Ramos

Data da defesa: 25 - 01 - 2008



Banca Examinadora da Dissertação de Mestrado
Danica Examinadora da Diocortagao do mocada de
Orientador:
Profa. Dra. Carmen Sílvia Bertuzzo
7/ 0
Membros:
Duete Due Cormon Silvia Bortuzzo (AAu)
Profa. Dra. Carifieli Silvia Bertuzzo
Prof. Dr. Carlos Eduardo Steiner
Profa. Dra. Ester Silveira Ramos & R
Programa de Pós-Graduação em Farmacologia da Faculdade de Ciências Médicas
da Universidade Estadual de Campinas.
Data: 25/01/2008
Duta. 2010 112000

DEDICATÓRIA

Dedico este trabalho ao meu pai Antonio Carlos Rueda que foi umexemplo em vida, deixou alegria, paz e muito amor nos corações das pessoas que o conheceram. Que me apoiou e me incentivou desde pequena para seguir adiante. Mesmo estando longe, sempre em meu coração. A Deus que me deu capacidade e força.

À *Profa. Dra. Carmen Silvia Bertuzzo* pela oportunidade valiosa de trilhar o caminho da ciência, pela orientação conferida, além da amizade e apoio.

À *Profa. Dra. Mônica Barbosa de Melo* e ao *Prof. Dr. Edson Antunes* por fazerem parte da banca de qualificação. Ao *Prof. Dr. Carlos Eduardo Steiner* e à *Profa. Dra. Ester Silveira Ramos* por participarem da minha banca de defesa. À *Profa. Dra. Vera Lúcia Gil da Silva Lopes* e ao *Prof. Dr. Valter Pinto Júnior*. Obrigada por aceitarem analisar e avaliar este trabalho. Minha grande admiração e sincera amizade.

A todo pessoal do laboratório de Genética Molecular pela convivência.

Aos meus amigos do laboratório por me acolherem, pelo carinho, amizade e ajuda de sempre: Luciana Bonadia, Cyntia Arivabeni, Rodrigo Secolin, Daniela Furgeri, Estela Gonçalves, Renato, Fabio Rossi, Cláudia Morelli, Elisângela, Isabel, Marilza, Daniel Zanetti, Társis, Aline, Simone, Romênia e Lucila.

À Universidade Estadual de Campinas, e aos professores dos departamentos de Farmacologia e de Genética Médica por todo conhecimento transmitido.

Ao secretário da Farmacologia Wanderlei pelo auxílio de sempre.

Aos pacientes e indivíduos controles que constituíram os dados da pesquisa e tornaram possível esta investigação.

Aos amigos do Hemocentro e a amiga Karina Antero Rosa.

Ao *CNPq* e a *Fapesp* pelo apoio financeiro.

A todos que, direta ou indiretamente, contribuíram para a realização deste trabalho, muito obrigada!

 ν

Em especial...

Ao *Evguen* meu querido, pelo enorme apoio e ajuda durante estes anos. Pelo carinho, companheirismo e amor.

À minha mãe *Maria de Lourdes* e sogra *Eliane* pela torcida de que tudo daria certo.

À minha irmã *Luciana*, cunhado *Edson* e ao querido(a) *sobrinho(a)* que está a caminho.

Às minhas famílias Rueda e Paschoaletto pelo carinho.

Aos amigos da IPIL pelo apoio.

SUMÁRIO

	PÁG.
RESUMO	xiv
ABSTRACT	xvi
1- INTRODUÇÃO	18
1.1- Câncer de mama	21
1.1.1- Suscetibilidade genética ao câncer de mama	25
1.2- Biotransformação de xenobióticos	26
1.2.1- Citocromo P450 (CYPs)	29
1.2.1.1- Gene CYP1A1	30
1.2.1.2- Gene CYP2D6	31
1.2.1.3- Gene CYP19	33
2- OBJETIVOS	34
2.1- Objetivo geral	35
2.2- Objetivos específicos	35
3- METODOLOGIA	36
3.1- Casuística	37
3.1.1- Critérios de inclusão dos casos	37
3.1.2- Critérios de exclusão dos casos	37
3.1.3- Critérios de inclusão para indivíduos do grupo controle	38
3.2- Métodos	38
3.2.1- Extração de DNA	38
3.2.2- Análises dos polimorfismos	39

● Polimorfismo m1 do gene CYP1A1	39
• Polimorfismo m2 do gene CYP1A1	41
• Polimorfismo *3 do gene CYP2D6	44
• Polimorfismo *4 do gene CYP2D6	46
• [TTTA] _n do gene CYP19	48
3.3- Análise estatística	49
4- RESULTADOS	50
5- DISCUSSÃO	54
6- CONCLUSÕES	59
7- REFERÊNCIAS BIBLIOGRÁFICAS	61
8- ANEXOS	74

LISTA DE ABREVIATURAS

*3 ou A2637del Polimorfismo do gene CYP2D6

*4 ou G1934A Polimorfismo do gene CYP2D6

Ah Aril-hidrocarboneto

AHH Aril-hidrocarboneto-hidroxilase

aids Síndrome da Imunodeficiência Adquirida

CM Câncer de mama

CYP1A1 Gene do sistema de citocromo P450

CYPs Genes da família do citocromo P450

DNA Ácido desoxirribonucleico

dNTP desoxinucleotídeo tri fosfato

EDTA Ácido etilenodiaminotetracético

EM Metabolizadores extensivos

IEM metabolizadores extensivos intermediários

IMC Índice de massa corporal

INCA Instituto Nacional do Câncer

m1 ou T6235C Polimorfismo do gene CYP1A1

M1-AS iniciador reverso

M1-S iniciador direto

m2 ou A4889G Polimorfismo do gene CYP1A1

pb Pares de base

PCR Reação em cadeia da polimerase

PM metabolizadores pobres

r.p.m Rotação por minuto

RNA ácido ribonucleico

SDS dodecil sulfato de sódio

SUS Sistema Único de Saúde

Taq Termus aquaticus

TEMED Tetramethylethylenediamine

Tris – tris (hidroximetil)-aminoetano

TTTA_n Polimorfismo do gene CYP19

LISTA DE TABELAS

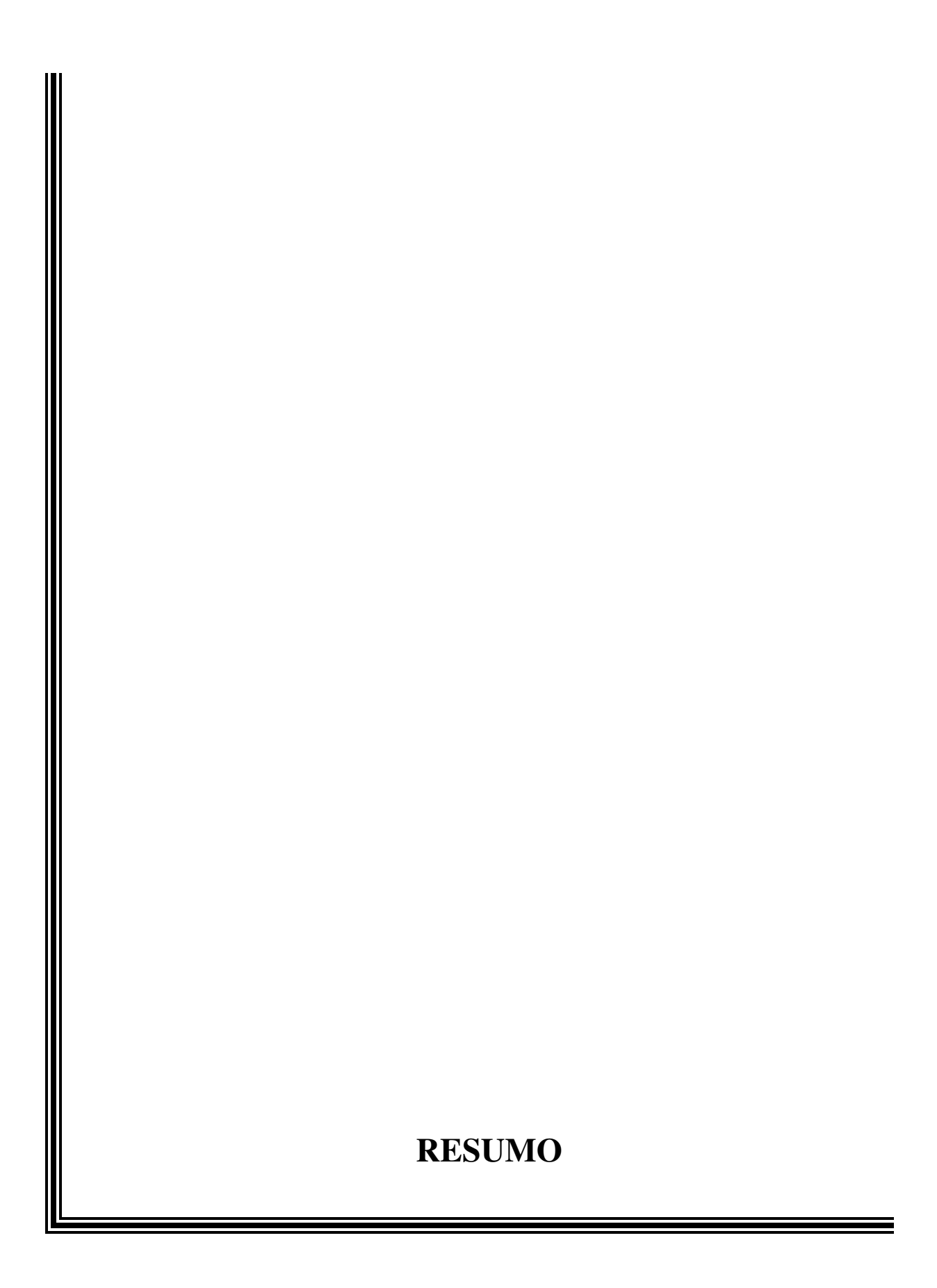
		PÁG.
Tabela 1-	Sequência dos iniciadores utilizados para amplificação gênica	39
Tabela 2-	Comparação das atividades metabólicas previstas a partir dos genótipos entre casos e controles dos polimorfismos *3 e *4	53
Tabela 3-	Distribuição genotípica dos alelos do gene CYP19 entre os	52
	casos de CM e controles	53

LISTA DE FIGURAS

		PÁG
Figura 1-	Padrão de bandas para detecção do polimorfismo m1	41
Figura 2-	Padrão de bandas para detecção do polimorfismo m2	43
Figura 3-	Padrão de bandas para detecção do polimorfismo *3	45
Figura 4-	Padrão de bandas para detecção do polimorfismo *4	47
Figura 5-	Genotipagem do CYP19	49

LISTA DE QUADROS

		PÁG.
Quadro 1-	Ordenação dos cinco principais tipos de câncer nas regiões	
	brasileiras por 100 mil homens. Com exceção do câncer de pele	
	não melanoma	20
Quadro 2-	Ordenação dos cinco principais tipos de câncer nas regiões	
	brasileiras por 100 mil mulheres. Com exceção do câncer de pele	
	não melanoma	21
Quadro 3-	Distribuição genotípica dos alelos m1 e m2 do gene CYP1A1	
	entre os casos de CM e controles	51
Quadro 4-	Distribuição genotípica dos alelos *3 e *4 do gene CYP2D6 entre	
	os casos de CM e controles	52



O câncer de mama (CM) é uma doença heterogênea e complexa, compreendendo múltiplas

formas de apresentação clínica e morfológica, com diferentes graus de agressividade

tumoral e potencial metastático. Acredita-se que 90% a 95% de todos os CM sejam

esporádicos e decorram de mutações somáticas que se verificam durante a vida e que 5% a

10% sejam hereditários em virtude de uma mutação germinativa ao nascimento, que

confere a estes indivíduos suscetibilidade ao CM.

Entre os polimorfismos mais conhecidos de metabolização de drogas, estão os do sistema

do citocromo P450. Os genes CYP1A1, CYP2D6 e CYP19 estão sendo estudados e em

algumas populações mostraram uma associação positiva com a maior suscetibilidade ao

CM.

Este trabalho teve como objetivo investigar a presença dos polimorfismos T6235C (m1) e

A4889G (m2) no gene CYP1A1, a presença dos polimorfismos A2637del (*3) e G1934A

(*4) no gene CYP2D6 e a presença de alterações [TTTA_n] no gene CYP19, por meio de um

estudo de associação com uma amostra de 170 indivíduos, sendo 45 pacientes portadores de

Adenocarcinoma e 120 controles normais. Foram utilizadas as técnicas extração de DNA,

PCR e digestão enzimática.

Não foi demonstrada, no presente estudo, associação entre os polimorfismos estudados e

CM esporádico: $(\chi^2_{(2)} = 1,12; p = 0,57)$ para o polimorfismo m1, $(\chi^2_{(2)} = 0,83; p = 0,65)$ para

o polimorfismo m2 do gene *CYP1A1*; $(\chi^2_{(2)} = 0.15; p = 0.69)$ para o polimorfismo *3, $(\chi^2_{(2)} = 0.15; p = 0.69)$

= 2,41; p = 0,30) para o polimorfismo *4 do gene CYP2D6 e para as repetições em tandem

 $[TTTA]_n$ do gene *CYP19*.

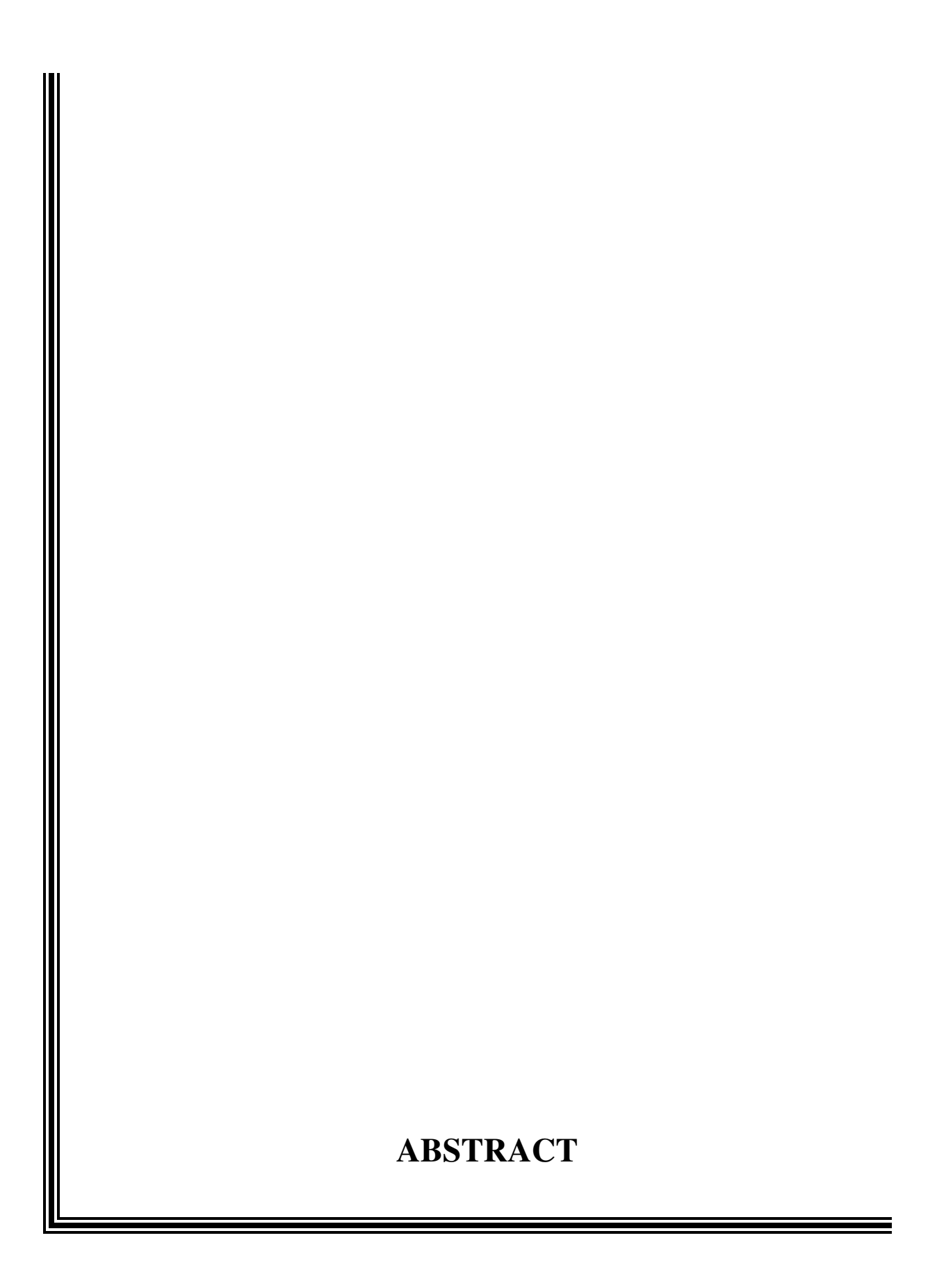
Os resultados sugerem que os polimorfismos gênicos estudados não estariam associados ao

CM na amostra de indivíduos da região metropolitana de Campinas.

Palavras-chave: CYP1A1, CYP2D6, CYP19, câncer de mama esporádico.

Resumo

xv



Breast cancer (BC) is a complex disease, with heterogeneous clinical and morphologic

presentation, that has with different degrees of tumoral aggressiveness and metastatic

potential. It is known that 90% to 95% of all the BC are sporadical and happens because of

somatic mutations that occurs during life and that 5% to 10% are hereditary because of

germinate mutation due to births, which makes these individuals susceptibly to the BC.

Among the best known polymorphism of metabolism of drugs, are the system cytochrome

P450. The genes CYP1A1, CYP2D6 and CYP19 are being studied and in some populations

because they had shown a positive association with the biggest susceptibility to the BC.

This work had as objective to investigate the presence of polymorphisms T6235C (m1) and

A4889G (m2) in gene CYP1A1, polymorphisms A2637del (*3) and G1934A (*4) in gene

CYP2D6 and the presence of alterations [TTTAn] in gene CYP19, through a study of

association with a sample of 170 individuals: 45 carrying patients of adenocarcinoma and

120 normal controls.

The techniques had been used extraction of DNA, PCR and enzymatic digestion.

It was not demonstrated, in this study the association between the polymorphisms studied

and sporadic BC ($\chi^2_{(2)} = 1,12$; p = 0,57) for the polymorphism m1, ($\chi^2_{(2)} = 0,83$; p = 0,65) for

the polymorphism m2 of gene CYP1A1; $(\chi^2_{(2)} = 0.15; p= 0.69)$ for polymorphism *3,

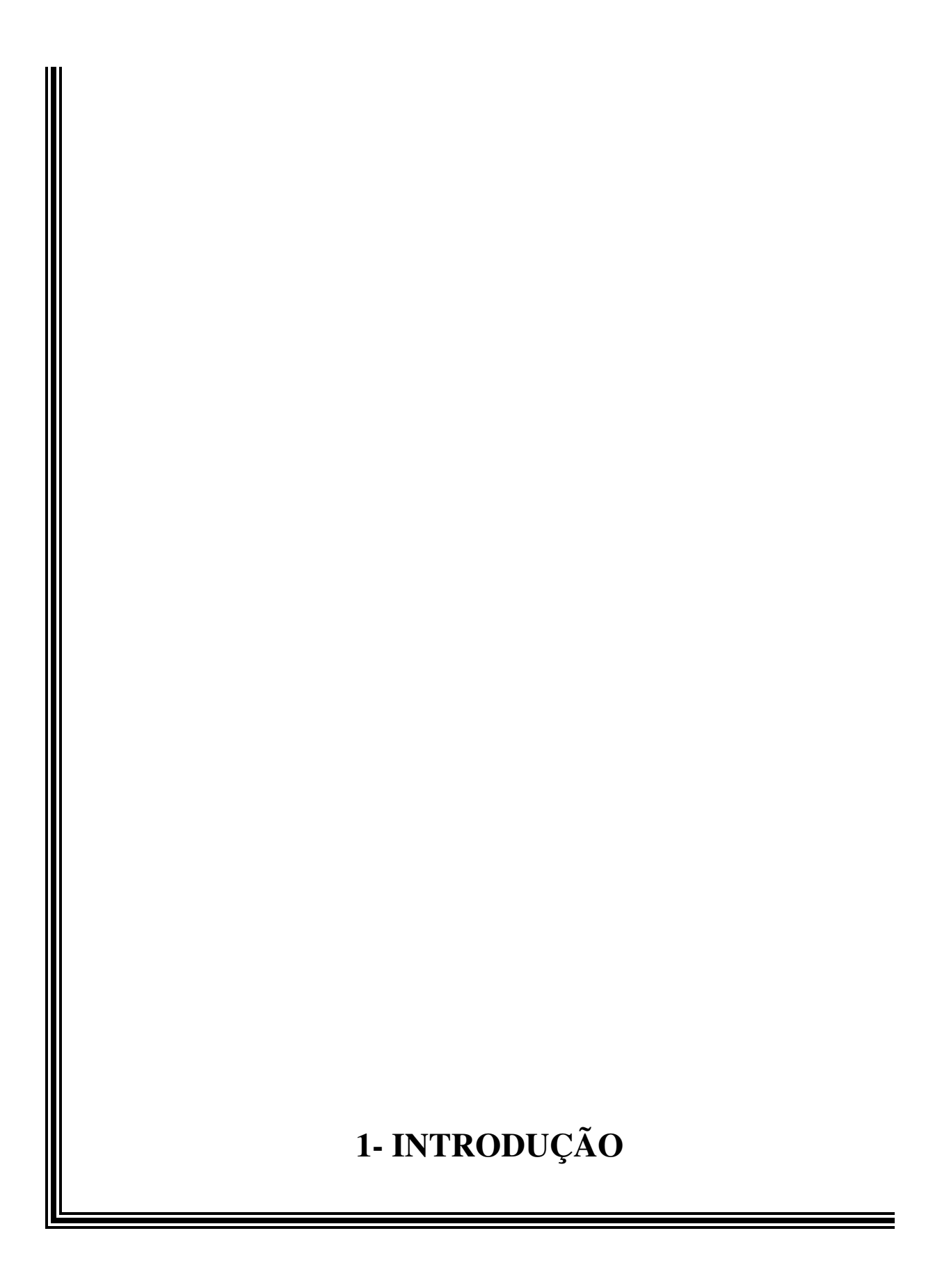
 $(\chi^2_{(2)} = 2,41; p=0,30)$ for polymorphism *4 of gene CYP2D6 and for gene CYP19.

The results suggest that the genic polymorphisms studied would not be associated with the

BC in the sample of individuals in the metropolitan area of Campinas.

key words: CYP1A1, CYP2D6, CYP19, sporadic breast cancer.

Abstract



O câncer é uma doença genética. O tumor maligno é caracterizado pelo crescimento desordenado de células que invadem os tecidos e órgãos, podendo espalhar-se por meio de metástase para outras regiões do corpo. Dividindo-se rapidamente, estas células tendem a ser muito agressivas e incontroláveis, determinando a formação de tumores (Crum, 1996; Alberts, 1997; Lewis e Conry, 1997).

O comportamento anormal das células cancerosas é geralmente caracterizado por mutações genéticas, expressões de características oncológicas, secreção anormal de hormônios ou enzimas. Todos os cânceres têm potencial de invasão ou de metastatização, mas cada tipo específico possui características clínicas e biológicas que devem ser estudadas para um adequado diagnóstico, tratamento e acompanhamento (McPherson et al., 2000). Os tumores chamados benignos apresentam crescimento lento além de não possuírem capacidade de gerar metástases.

As estatísticas mostram que algumas formas de câncer atingem mais de um terço da população e contribuem com mais de 20% de todas as mortes, sendo a doença responsável por mais de 10% do custo total com cuidados médicos nos países desenvolvidos (Nussbaum et al., 2002).

No último ano, foram registrados 130 mil óbitos de câncer no Brasil. Um volume maior do que o número de casos de aids acumulados em 24 anos. Entre 1979 e 2003, a taxa de mortalidade pela doença cresceu 30% (INCA, 2007).

A estimativa 2008 de incidência do câncer no Brasil revela que aproximadamente 470 mil novos casos da doença deverão ocorrer no país em 2008 e 2009. Desconsiderando os casos de câncer de pele não melanoma, os tipos de câncer com maior número de novos casos no sexo masculino serão os de próstata e pulmão, enquanto em mulheres a incidência será maior dos cânceres de mama e colo de útero. O perfil da doença é semelhante ao observado em outros países. Entre homens, estima-se que haverá 231.860 novos casos de câncer, sendo os tipos mais incidentes o câncer de pele não melanoma (59 novos casos a cada 100 mil homens) em seguida próstata, pulmão, estômago, cólon/reto e esôfago (Quadro 1). Apesar do número absoluto de casos entre mulheres ser similar à incidência esperada entre homens (234.870), o que representa 50,3% do total de casos em

2008, o perfil é pouco diferente. Esperam-se 51 novos casos de câncer de pele não melanoma a cada 100 mil mulheres, seguidos pela incidência de câncer de mama colo de útero, cólon/reto, pulmão e estômago (INCA, 2007) (Quadro 2).

O número de casos, tanto no mundo como no Brasil, vem aumentando e isso se deve, principalmente, ao envelhecimento da população, pois o principal fator de risco para o desenvolvimento do câncer, em geral, é a idade e, obviamente, quanto mais se vive mais tempo há para que mutações genéticas adquiridas possam expressar o câncer (Gil, 2005).

O perfil do câncer no Brasil vem acompanhando o perfil observado em países desenvolvidos. As mudanças refletem o processo de urbanização e a ampliação do acesso à informação. O câncer está presente em todas as sociedades, mas em cada uma delas a doença apresenta um perfil específico. Num país com as dimensões e diferenças que o Brasil apresenta, as especificidades se revelam também entre as regiões e entre as capitais (INCA, 2007). O Sul e o Sudeste apresentam as maiores taxas esperadas de casos novos de câncer, enquanto a região Centro-Oeste apresenta padrão intermediário, refletindo as heterogeneidades regionais. A região Norte apresenta as menores taxas (INCA, 2007).

Quadro 1- Ordenação dos cinco principais tipos de câncer nas regiões brasileiras por 100 mil homens. Com exceção do câncer de pele não melanoma. Fonte: INCA.

	Sul	Centro-Oeste	Nordeste	Norte	Sudeste
1	próstata	próstata	próstata	próstata	próstata
	68,7	46,7	38,0	22,0	63,2
2	pulmão	Pulmão	estômago	estômago	pulmão
	35,6	15,7	9,2	9,9	22,5
3	estômago	estômago	pulmão	pulmão	cólon e reto
	20,9	12,2	8,6	8,0	19,00
4	cólon e reto	cólon e reto	cavidade oral	leucemias	estômago
	20,6	10,0	5,9	3,7	18,0
5	esôfago	cavidade oral	cólon e reto	cavidade oral	cavidade oral
	16,6	7,7	4,4	3,2	15,2

Quadro 2- Ordenação dos cinco principais tipos de câncer nas regiões brasileiras por 100 mil mulheres. Com exceção do câncer de pele não melanoma. Fonte: INCA.

	Sul	Centro-Oeste	Nordeste	Norte	Sudeste
1	mama	mama	mama	colo do útero	mama
	67,1	38,2	28,4	22,2	68,1
2	colo do útero	colo do útero	colo do útero	mama	cólon e reto
	24,4	19,4	17,6	15,6	21,1
3	cólon e reto	cólon e reto	cólon e reto	estômago	colo do útero
	21,9	10,9	5,8	5,4	17,8
4	pulmão	pulmão	estômago	pulmão	pulmão
	16,2	8,8	5,5	5,0	11,4
5	estômago	estômago	pulmão	cólon e reto	estômago
	10,4	6,0	5,3	3,8	9,5

1.1- Câncer de mama

O câncer de mama (CM) é uma doença heterogênea e complexa, compreendendo múltiplas formas de apresentação clínica e morfológica, com diferentes graus de agressividade tumoral e potencial metastático (Silva et al., 2002).

Acredita-se que 90% a 95% de todos os CM sejam esporádicos e decorram de mutações somáticas que se verificam durante a vida e que 5% a 10% sejam hereditários em virtude de uma mutação germinativa ao nascimento, que confere a estes indivíduos suscetibilidade ao CM (Bilimoria e Morrow, 1995; Barros, 2005).

Estima-se que aproximadamente 10% das mulheres da população geral dos países ocidentais desenvolverão, em alguma época da vida, o CM (Linhares et al., 2005).

O CM será, em 2008, o mais incidente entre as mulheres na região Sudeste. São estimados 68 novos casos a cada 100 mil mulheres, sendo a mais alta taxa de incidência do país (INCA, 2007). Em 2005, foram estimados 211.244 novos casos de CM nos EUA, com 41.410 mortes pela doença (Jemal et al., 2005). No Brasil, no ano de 2006 foram estimados

48.930 novos casos, com risco previsto de 52 casos novos por 100 mil mulheres, sem considerar os tumores de pele não melanona (Da Silva e Amadei, 2006).

A incidência do CM tem distribuição geográfica variada, sendo mais frequente em países ocidentais (EUA, Europa Ocidental) do que em países orientais (China, Japão). Acredita-se que além de fatores genéticos transmitidos existe grande influência dos hábitos das mulheres ocidentais que propiciam o surgimento da doença (alimentação, reposição hormonal, vida sedentária, obesidade) e isso explica porque mulheres japonesas que migram para os EUA, após duas gerações, têm incidência de CM semelhante à de mulheres americanas (Gil, 2005).

Apesar de ser considerado um câncer de relativo bom prognóstico, se diagnosticado e tratado oportunamente, as taxas de mortalidade por CM continuam altas no Brasil, muito provavelmente porque ainda ocorram diagnósticos tardios. Com base nas informações disponíveis nos registros hospitalares do Instituto Nacional do Câncer (INCA), no período de 2000/2001, 50% dos tumores de mama foram diagnosticados nos estágios III e IV (Da Silva e Amadei, 2006).

Acredita-se que o Brasil poderá acompanhar os países desenvolvidos no sentido de reduzir a mortalidade por essa doença apesar do envelhecimento progressivo da nossa população. O Brasil envelheceu em cinco anos o que a Europa demorou 150 anos para fazê-lo, e hoje tem expectativa de vida de 71 anos contra 37 anos do início do século XX (Gil, 2005).

Os sintomas do CM são o nódulo ou tumor na mama, acompanhado ou não de dor mamária. Podem surgir alterações na pele que recobre a mama, como abaulamentos, retrações ou aspecto semelhante à casca de laranja. Podem também surgir nódulos palpáveis na axila (INCA, 2007).

Os principais fatores de risco para o CM são:

 a) Mudança dos fatores reprodutivos: representada pela exposição estrogênica prolongada principal hormônio envolvido na proliferação da célula mamária - com destaque ao estilo de vida dos países ocidentais, por exemplo menarca precoce (antes dos 11 anos de idade), menopausa tardia (em geral, após os 50 anos de idade), menos gestação e lactação, primeira gestação a termo mais tardiamente (acima de 30 anos), uso exógeno de hormônios. O uso de contraceptivos orais e a terapia de reposição hormonal continuam sendo alvos de muita controvérsia. Aparentemente, certos subgrupos de mulheres, particularmente as que usam pílulas com dosagens elevadas de estrogênios e/ou por longo período de tempo têm maior risco (Parkin et al., 2001; Barros, 2005). Collins et al., (2005) em uma recente revisão sobre o risco de CM associado a tratamento de reposição hormonal na menopausa observaram que o risco é maior em mulheres em tratamento do que em mulheres não tratadas ou que interromperam o tratamento. Para essas últimas, o risco diminui logo após o término do tratamento atingindo os parâmetros normais de risco em cinco anos. Além disso, os autores referem que o risco de desenvolver CM é maior em mulheres que utilizam o estrogênio juntamente com a progesterona no tratamento de reposição hormonal, do que em mulheres que utilizam somente estrogênio;

- b) Fatores dietéticos: com destaque para maior risco em dietas ricas em gordura, principalmente a poliinsaturada e a ingestão moderada de álcool (Barros, 2005). No entanto o efeito dos mesmos é ainda controverso (Parkin et al., 2001). Já as gorduras monoinsaturadas, ricas em ômega três e seis, como o azeite de oliva e outros alimentos, parecem ter efeito benéfico (Barros, 2005);
- c) Atividade física/controle do índice de massa corporal (IMC): controle do peso, do IMC e atividade física têm efeito benéfico reduzindo o risco de CM, provavelmente por ocorrer menor produção endógena de estrógenos (Bagnoli et al., 2006);
- **d) Exposição ambiental:** mulheres expostas à radiação ionizante, principalmente na puberdade (Barros, 2005);

e) **História familial:** constitui um fator importante aumentando o risco em duas a três vezes, principalmente se o câncer ocorreu na mãe ou em irmã e antes da menopausa (Vaury et al., 1995).

Alguns trabalhos demonstram que, na população feminina, cada ano de amamentação reduz, em média, sete vezes o risco e cada filho nascido, em quatro vezes (Pinotti, 2005).

Na neoplasia de mama é consenso mundial o auto-exame mensalmente e exame clínico na faixa etária de 20 a 39 anos. Acima dos 40 anos, devem ser realizados o auto-exame, o exame clínico e anualmente a mamografia (Guimarães et al., 2006).

O Ministério da Saúde definiu o CM como sendo uma de suas prioridades e deverá estabelecer políticas públicas que incentivem o diagnóstico precoce através da mamografía e do estabelecimento de uma rede de atenção oncológica que passem pelos serviços de assistência básica, média e alta complexidade. A revisão da tabela de procedimentos do SUS também deverá incorporar novos tratamentos mais eficazes com o objetivo de diminuir a mortalidade pela doença (Gil, 2005).

Em países desenvolvidos, como os EUA, um número cada vez maior de CM é diagnosticado como resultado de uma alteração mamográfica. Isto explica porque os carcinomas ductais *in situ* são o subgrupo de CM que mais cresce em termos de diagnóstico nos EUA (Guimarães et al., 2006).

O objetivo dos exames de rastreamento para detecção precoce de CM é diagnosticar a doença antes que cause sintomas, melhorando o prognóstico e as opções de tratamento. Para ser reconhecido como eficaz, um método de rastreamento deverá proporcionar o aumento da sobrevida ou a redução da mortalidade pela doença. Apesar das controvérsias ao longo dos anos, a mamografia é o único método de rastreamento de CM que atinge esses objetivos. A evidência da eficácia da mamografia é maior hoje do que no passado e dados recentes confirmam o benefício do exame também em mulheres de 40 a 50 anos. As mulheres, mesmo com idade mais avançada, não devem interromper as mamografias de rotina. Aquelas mulheres com alto risco para CM podem se benefíciar de

estratégias adicionais de rastreamento, como iniciar a mamografía mais cedo e realizá-la em intervalos mais curtos (Eklund e Amaral, 2005).

Uma vez diagnosticado o CM, a escolha do tratamento depende do diagnóstico clínico da doença e do desejo do paciente (Da Silva e Amadei, 2006).

1.1.1- Suscetibilidade genética ao câncer de mama

A contribuição do ambiente no surgimento do câncer humano e também sobre as situações de risco fortemente influenciadas pela suscetibilidade genética têm sido evidenciadas graças às pesquisas de epidemiologia molecular (Weinberg, 1992). Aliando-se a métodos moleculares, principalmente à técnica de reação em cadeia da polimerase (PCR), os modelos laboratoriais *in vitro* e *in vivo* e a bioquímica, aos dados obtidos pela epidemiologia clássica, possibilita, não apenas o levantamento rápido dos riscos populacionais, mas também os individuais no surgimento de neoplasias (Feigelson et al., 1996; Shi et al., 1996; Kato et al., 1997). Com isso, consegue-se uma intervenção precoce e é fornecida uma base para o tratamento dessas neoplasias (Hussain e Harris, 1998).

Estudos de associação do tipo caso-controle têm gerado novas informações sobre o câncer e os mecanismos envolvidos no processo da carcinogênese (Bartsch, 2000). Para tanto, faz-se necessário o uso de biomarcadores que possam sinalizar eventos em amostras ou sistemas biológicos (Nebert et al., 1996).

Um tipo relevante de biomarcador de suscetibilidade está relacionado à presença de polimorfismos em genes que codificam enzimas cujas modificações podem aumentar ou diminuir a capacidade de substâncias mutagênicas/carcinogênicas interagirem com DNA, RNA ou proteínas (Eubanks, 1994; Guenguerich, 2000). Sabendo-se que muitas destas substâncias não são capazes de provocar por si mesmas os efeitos prejudiciais ao organismo, mas somente quando alteradas por enzimas, ou alteração nos genes que as codificam desde que associados ao fenótipo, podem ser utilizada como biomarcador.

O desenvolvimento do câncer dependerá de uma série de fatores, como o tempo e a intensidade da exposição a carcinógenos e a suscetibilidade genética do indivíduo. Polimorfismos gênicos responsáveis pela codificação de enzimas envolvidas no metabolismo de carcinógenos influenciam diretamente na resposta individual a estes agentes, desde que alelos diferentes condicionem fenótipos com maior ou menor capacidade de metabolização tanto na biossíntese (genes da fase I), como na degradação (genes da fase II) de carcinógenos. Evidências epidemiológicas mostram que a herança de variações genéticas de um ou mais *locus* resultam na redução da capacidade de reparo do DNA e no aumento do risco de câncer (Sturgis et al., 1999).

O câncer é uma doença genética, mas não há nenhuma contradição em considerar o papel do ambiente na carcinogênese. Os agentes ambientais podem atuar como mutágenos que causam mutações somáticas. As mutações somáticas, por sua vez, são responsáveis pela carcinogênese. De acordo com algumas estimativas baseadas principalmente em dados dos resultados das bombas atômicas atiradas em Hiroshima e Nagasaki, até 75% do risco de câncer pode ser de origem ambiental (Nussbaum et al., 2002).

Vários genes estão envolvidos na suscetibilidade em desenvolver CM e polimorfismos que afetariam o metabolismo de drogas poderiam ser um deles, uma vez que levariam a uma maior exposição a vários fármacos que poderiam ter um efeito mutagênico.

Entre os polimorfismos mais conhecidos de metabolização de drogas estão os do sistema do citocromo P450.

1.2- Biotransformação de xenobióticos

Biotransformação é a alteração química sofrida pelos xenobióticos que são substâncias químicas naturais ou artificiais estranhas ao corpo, tais como drogas, produtos industriais, pesticidas, poluentes, alcalóides, metabólitos secundários de plantas e toxinas produzidas por fungos, plantas e animais (Parkinson, 1996) no organismo, comumente sob a ação de enzimas específicas e/ou inespecíficas (Meyer, 1996). Juntamente com os

fenômenos de absorção, distribuição e excreção, as enzimas participam da regulação de níveis plasmáticos de drogas. A biotransformação, portanto, é um processo alternativo, em que os metabólitos formados possuem propriedades diferentes das drogas originais, com características mais hidrofílicas, tendo por objetivo facilitar a excreção pelo organismo (Meyer, 1996). Contudo, nem sempre as drogas são inativadas pelo contrário, alguns metabólitos apresentam atividade aumentada (por exemplo, codeína em morfina) ou propriedades tóxicas (entre elas, paration em paraoxon), incluindo a mutagenicidade, a teratogenicidade e a carcinogenicidade.

A exposição diária a uma variedade de compostos estranhos (xenobióticos) é capaz de levar à absorção deles através dos pulmões, da pele ou ingeridos, não intencionalmente, como contaminantes nos alimentos e na água ou, deliberadamente, na forma de medicamentos com fins terapêuticos ou não. A exposição a xenobióticos pode ser inadvertida ou acidental e às vezes inevitável. Alguns são inofensivos; outros, porém, podem provocar respostas biológicas de natureza farmacológica ou tóxica. Essas respostas biológicas geralmente dependem da conversão da substância absorvida em um metabólito ativo ou não, com a finalidade principal de ser eliminada (Butlletí, 1999).

As enzimas, chamadas microssomas, são as responsáveis pelas reações de biotransformação e encontram-se presentes em todo o organismo, como pulmão, rins (Llama e Avendaño, 1993; Butlletí, 1999; Honkakoski e Neghishi, 1997), pele, cérebro, intestino (Watkins et al., 1987; Peters e Kremers, 1989), sangue e figado (Watkins, 1992). Embora elas estejam distribuídas em todo o organismo, o figado é, sem dúvida, o órgão que mais as concentra, sendo o principal órgão biotransformador.

Essas enzimas localizam-se predominantemente na superfície do retículo endoplasmático liso e constituem o sistema oxidase de função mista ou monoxigenases ou sistema citocromo P450 (Benet e Sheiner, 1987). Este possui importantes funções metabólicas, além de ser o sistema de sentinela que primeiro apreende e inativa vários xenobióticos no organismo. Para uma droga ser metabolizada pelas enzimas do sistema é necessário ser lipossolúvel, pois essa propriedade facilita a penetração dela no retículo endoplasmático e a sua ligação ao citocromo P450.

Muitas enzimas evoluíram para desintoxicação de compostos xenobióticos e a expressão gênica das mesmas é induzida em resposta à presença de determinado composto. O sistema de metabolização de xenobiótico humano compreende duas classes de enzimas: as de metabolismo oxidativo mediado ou de fase I (Citocromo P450 - CYPs) e as enzimas conjugadas ou de fase II (glutationa S-transferases - GSTs e N-acetil-transferases - NATs).

Grande parte dos pró-carcinógenos químicos presentes no meio ambiente estão quimicamente inertes. Para tornarem-se metabólitos altamente reativos capazes de ligarem-se ao DNA e exibirem atividade carcinogênica, necessitam da ativação metabólica pelas enzimas oxidativas (de ativação) da fase I, que são principalmente enzimas da superfamília citocromo P450. Dessa forma, através da introdução de um ou mais grupamentos hidroxila no substrato, um pró-carcinógeno pode tornar-se carcinógeno (Nebert, 1991; Perera, 1996; Shimada e Fujii-Kuriyama, 2004).

As ações das enzimas de fase I e II tornam os compostos mais solúveis, rapidamente excretados, o que pode diminuir o risco de câncer. Entretanto, os produtos mais solúveis de alguns compostos são ainda mais carcinógenos do que a forma original. Portanto, uma mutação que aumente a expressão gênica ou atividade da proteína produzida pode aumentar a quantidade de carcinógenos reativos formados e, então, aumentar o risco de câncer (Dunning et al., 1999).

Desta forma, os genótipos que conferem variações nos níveis de atividade enzimática das fases I e II estão associados à suscetibilidade individual ao desenvolvimento de câncer (Garte, 1998; Mendonça et al., 2003). Com isso, alguns indivíduos ou subpopulações, como diferentes etnias, podem apresentar risco significativamente maior de desenvolver câncer quimicamente induzido do que média populacional, devido às diferenças expressivas nos processos de ativação e desintoxicação (Idle, 1991; Gilliland, 1997; Caporaso, 1999).

Falhas nesses processos (fase I e fase II) favorecem o acúmulo de alterações ocorridas em regiões de proto-oncogenes e/ou genes supressores de tumor, que estimulam e inibem a proliferação celular, respectivamente, promovendo o surgimento de um tumor (Alberts et al., 2002).

A velocidade de biotransformação depende da concentração de citocromo P450, da proporção das isoformas, da afinidade pelo substrato, da redução do complexo droga-citocromo P450 e da competição entre substratos endógenos e exógenos (Relling e Evans, 1992). Alguns outros fatores também afetam a velocidade da biotransformação, como genéticos (polimorfismos), fisiológicos (doença, estado clínico, idade, sexo) e ambientais (poluentes e substâncias químicas industriais) ou por uso concomitante de outras drogas. Esses fatores podem levar a duas conseqüências antagônicas, inibição ou indução na velocidade de biotransformação, de suma importância no estabelecimento dos regimes terapêuticos (posologia).

As consequências da inibição correspondem a menor velocidade de biotransformação, aumento dos níveis do xenobiótico no organismo, aumento dos efeitos farmacológicos e maior incidência de toxicidade da droga. E as consequências da indução são aumento da síntese de proteínas, maior velocidade de biotransformação, menor disponibilidade da droga original e aumento de toxicidade, no caso de drogas metabolizadas para formas reativas (Benet e Scheiner, 1987).

A biotransformação é imprescindível, pois, se ela não ocorresse, o organismo seria um depósito de substâncias químicas estranhas por tempo indeterminado. Nesse sentido, as enzimas exercem um papel biológico de extrema importância, sobretudo as enzimas do citocromo P450, presentes nas membranas do retículo endoplasmático liso.

1.2.1- Citocromo P450 (CYPs)

A superfamília do citocromo P450 humana compreende ao menos dez conhecidas e caracterizadas famílias e numerosas subfamílias (Nebert, 1991). Durante a biotransformação, o citocromo P450 mede as reações da fase I em que os xenobióticos são desintoxicados ou ativados pelas reações das substâncias intermediárias. A alta concentração das enzimas foi observada no retículo endoplasmático do fígado (microssoma), mas estão presentes em todos os tecidos de uma maneira tecido-específica. No fígado, determinam a intensidade e a duração da ação da droga e promovem o

desintoxicação dos xenobióticos. A contribuição de cada enzima P450 à ativação dos carcinógenos foi avaliada extensivamente e mostrou que a maioria dos carcinogênicos ambientais estão ativados principalmente por um número limitado delas, incluindo as codificadas pelos genes CYP1A1, CYP1A2, CYP2E1, CYP2D6, e CYP3A (Kawajiri et al., 1993). Muitos são polimórficos, indicando as atividades metabólicas diferentes, refletidas em efeitos tóxicos adversos, incluindo a carcinogênese induzida por substâncias químicas endógenas (Autrup, 2000).

O interesse pelo efeito carcinogênico das substâncias químicas data de pelo menos o século XVIII, quando se observou a alta incidência de câncer escrotal em jovens limpadores de chaminés. Hoje em dia, há uma preocupação quanto a muitos carcinógenos químicos possíveis, especialmente o tabaco, os componentes da dieta, os carcinógenos industriais e os dejetos tóxicos (Nussbaum et al., 2002).

1.2.1.1- Gene CYP1A1

Este gene pertence à subfamília *CYP1* e codifica a enzima aril-hidrocarboneto-hidroxilase (AHH), que é uma proteína induzível envolvida no metabolismo dos hidrocarbonetos policíclicos como os encontrados na fumaça do cigarro (Hatagima, 2002). A AHH converte os hidrocarbonetos na forma epóxido, que é mais facilmente excretada pelo corpo, mas que também é carcinogênica. A extensão do metabolismo dos hidrocarbonetos é geneticamente controlado e apresenta variação polimórfica na população normal. Os indivíduos que possuem um alelo de "alta inducibilidade", sobretudo os fumantes, parecem correr um risco maior de câncer do pulmão. Os dados indicam que o próprio fumo de cigarros induz a expressão de gene CYP1A1 nas pessoas com um alelo de "alta inducibilidade". Por outro lado, os homozigotos para o alelo recessivo de "baixa inducibilidade" parecem ser menos propensos a desenvolver câncer de pulmão, possivelmente porque sua AHH é menos efetiva no que se diz a respeito a converter os hidrocarbonetos em carcinógenos altamente reativos (Nussbaum et al., 2002).

O gene CYP1A1 está localizado no cromossomo 15, locus 15q22.24 (Hildebrand et al., 1985) e apresenta sete exons e seis introns (Masson et al., 2005).

Quatro polimorfismos foram descritos para o gene CYP1A1: m1, m2, m3 e m4 (Boyapati et al. 2005). O primeiro polimorfismo o m1 ou CYP1A1 *2A ou T6235C, é uma substituição de timina por uma citosina na região 3' não traduzida (Kawajiri et al., 1990); o segundo m2 ou CYP1A1 *2C ou A4889G, é conhecido também como Ile-Val (Hayashi et al., 1991) é uma substituição do aminoácido isoleucina para valina no códon 462 no exon 7 (Hayashi et al., 1991). Sua função não foi definida ainda completamente e pode depender de sua ligação ao polimorfismo m1 ou a outros polimorfismos que podem afetar os níveis da transcrição de CYP1A1, tais como polimorfismos nos genes do promotor, genes de AHR (receptor de Ah), ou a outros genes metabólicos (Crofts et al., 1994). O polimorfismo m2 tem sido associado com um aumento na inducibilidade e atividade da enzima CYP1A1 (Crofts et al., 1994) O terceiro polimorfismo m3 ou CYP1A1 *3 foi encontrado apenas em afro-americanos e suas consequências funcionais restam ser definidas (Crofts et al., 1993). Por fim, o quarto polimorfismo m4 ou CYP1A1 *4 ou C4887A é uma substituição do aminoácido de treonina para asparagina no códon 461 adjacentes ao m2 no exon 7 (Boyapati et al. 2005) e foi descrito por Cascorbi et al. (1996). Sua frequência é dez vezes maior em caucasianos do que em afro-americanos (4,0% contra 0,4%, respectivamente) e seu efeito funcional também resta ser determinado (Cascorbi et al. 1996).

Alguns trabalhos sugeriram que os polimorfismos m1 e m2 estariam associados a suscetibilidade ao CM, já os polimorfismo m3 e m4 não estariam associados ao CM (De Jong et al., 2006).

1.2.1.2- Gene CYP2D6

O gene CYP2D6 pertence à família *CYP2* e foi mapeado no cromossomo humano 22, locus 22q13.1 (Gough et al., 1993), contendo nove exons (Kimura et al., 1989) e oito introns (Topić et al., 2000). A enzima do CYP2D6 (debrisoquina-4-hidroxilase)

metaboliza a debrisoquina e pelo menos outras 80 drogas, como antidepressivos, antiarrítmicos e antiepilépticos, entre outras (Ayesh et al., 1984; Bertilsson, 1995; Autrup, 2000). Além destes substratos, CYP2D6 age também na nitrosamina (NNK-4-methilnitrosamina-1(3-piridil)-1-butanona), um componente do cigarro que é carcinogênico (Crespi et al., 1991). A ausência da atividade da debrisoquina-4-hidroxilase pode ter sérias conseqüências clínicas dependendo das doses utilizadas, uma vez que podem levar a uma alta concentração da droga no plasma, gerando efeitos colaterais (Bertilsson, 1995). Debrisoquina é uma droga usada para o tratamento de hipertensão e uma ampla variação foi observada na resposta hipotensiva (Idle et al., 1978).

Uma revisão complexa dos polimorfismos neste gene é fornecida por Sachse et al. (1997). De acordo com estes autores, os diferentes alelos para o gene CYP2D6 ocorrem principalmente por mutações de ponto, conversões, duplicações e deleções do gene. Cerca de 15 alelos foram descritos e associados com a baixa atividade (CYP2D6*2, * 9, * 10) ou ausência de atividade (CYP2D6*3, * 4, * 5, * 6, * 7, * 8, * 11, * 12, * 13, * 14, * 15, * 16). A combinação de todos estes alelos fornece um grande painel de possíveis fenótipos em relação às atividades do CYP2D6.

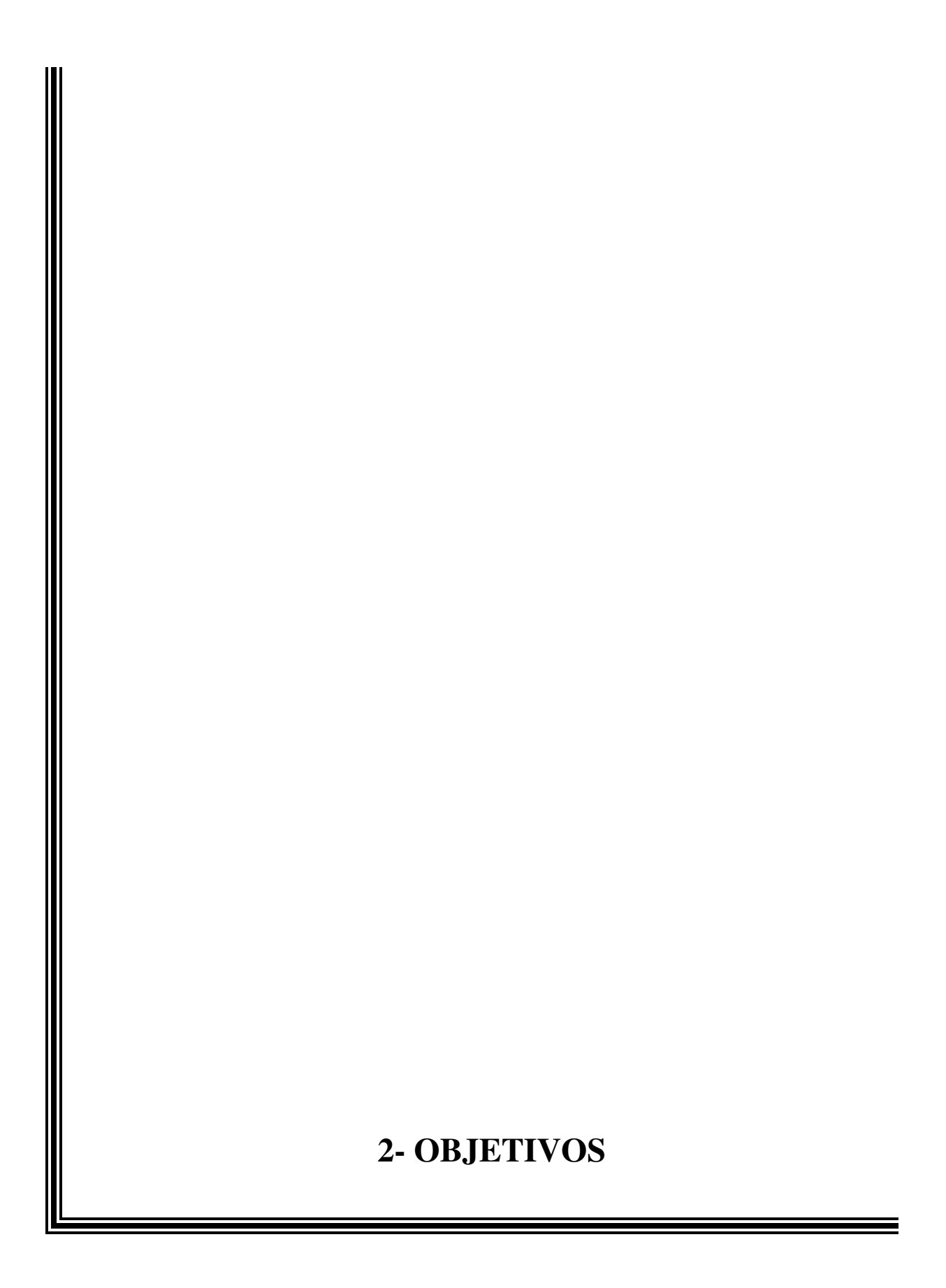
Alguns fenótipos são previstos, de acordo com os genótipos da seguinte forma, metabolizadores extensivos (EM) são indivíduos que possuem dois alelos selvagens; metabolizadores extensivos intermediários (IEM) possuem um alelo selvagem e um alelo com alteração e metabolizadores pobres ou lentos (PM) possuem os dois alelos alterados (Topić et al., 2000).

O polimorfismo *3 ou del2637A e o polimorfismo *4 ou G1934A estão entre os mais comuns do gene. Estes polimorfismos resultam em uma diminuição ou inatividade da isoenzima de *CYP2D6*, levando à uma PM. Esses indivíduos têm um risco aumentado de efeitos colaterais ou fracasso terapêutico após tratamento medicamentoso (Stüven et al., 1996).

1.2.1.3- Gene CYP19

O gene CYP19, localiza-se no cromossomo 15 (Sparkes et al., 1987) locus 15q21.1 (Chen et al., 1988), possuindo 70kb e apresenta 10 exons e a transcrição começa no exon 2 (Toda et al., 1990).

Esse gene codifica a enzima P450 aromatase a qual catalisa a biossíntese de estrógeno a partir de andrógenos. O gene CYP19 é polimórfico e o tetranucleotídeo TTTA localizado no intron 4, apresenta de sete a 13 repetições e tem sido associado ao CM em diferentes populações (Mendelson et al., 1990; Dunning et al., 1999; Kristensen e Borresen-Dale, 2000; Mitrunen e Hirvonen, 2003; Baxter et al., 2001). Sabe-se que a grande maioria dos estrógenos são produzidos nos ovários de mulheres na pré-menopausa, entretanto, os locais de conversão de andrógenos em estrógenos por aromatase são os tecidos adiposos periféricos em mulheres na pós-menopausa. Além disso, em pacientes com CM, a aromatase desempenha um papel importante na biossíntese de estrógenos intra-tumoral (O'Neill et al., 1988). P450 aromatase está presente no retículo endoplasmático das células, em que é expresso, incluindo células granulosas e corpo lúteo do ovário, células de Leydig dos testículos, da placenta e vários locais do cérebro e do tecido adiposo. Diferentes formas de estrógenos são sintetizadas a partir de diferentes substratos de andrógenos em vários tecidos. Por exemplo, o estrogênio é sintetizado a partir de androstenediona no tecido adiposo, estradiol a partir de testosterona nas células granulosas e oestriol a partir de andrógenos 16\alpha-hidroxilados na placenta (Healey, 2000).

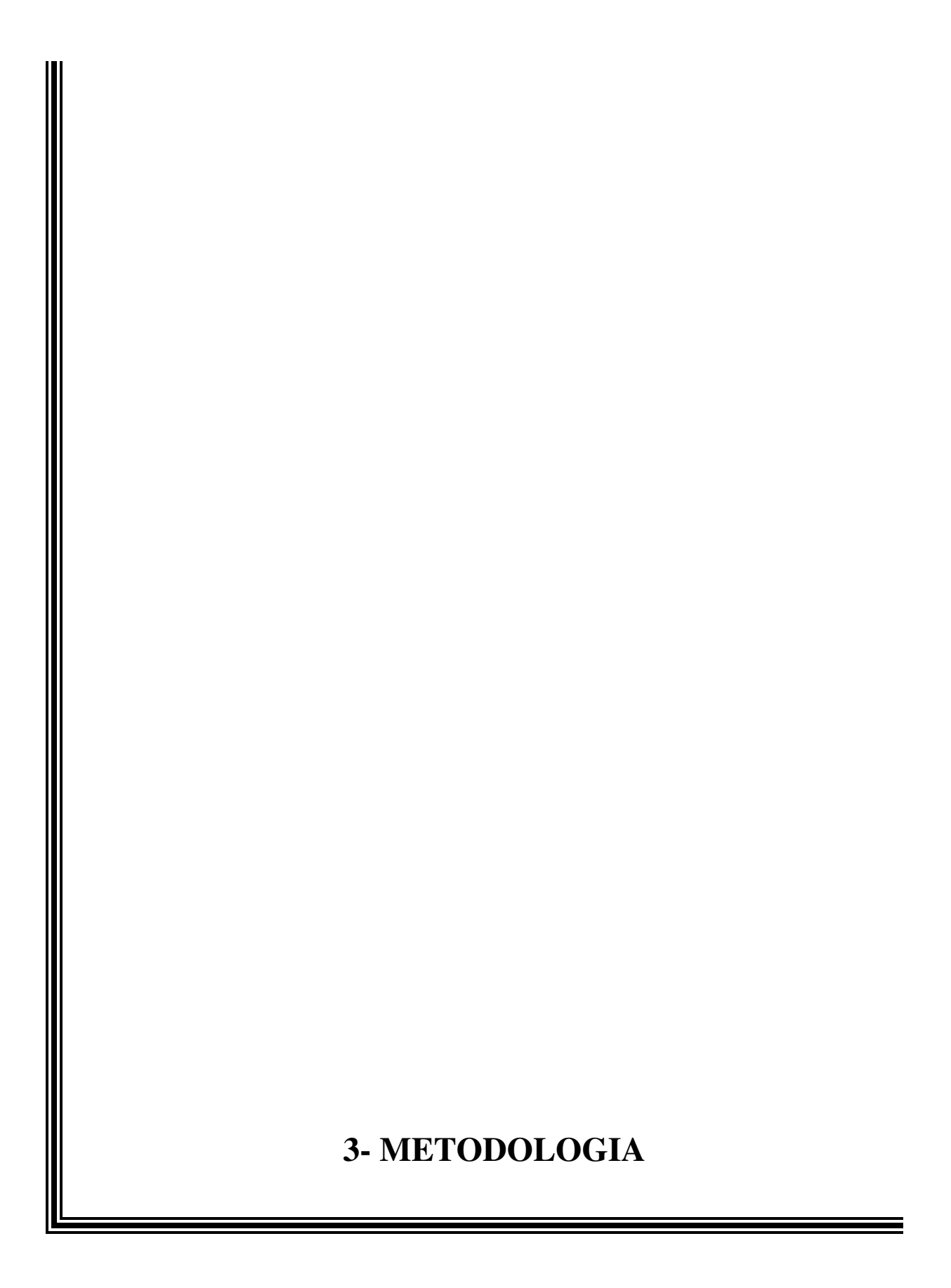


2.1- Objetivo geral

Investigar a associação dos polimorfismos m1 e m2 no gene CYP1A1, os polimorfismos *3 e *4 no gene CYP2D6 e polimorfismos de repetição em tandem no gene CYP19 e o CM esporádico, em uma amostra de indivíduos da região metropolitana de Campinas.

2.2- Objetivos específicos

- Determinar a frequência gênica dos casos e controles dos polimorfismos:
 - o T6235C (m1) e A4889G (m2) no gene CYP1A1;
 - o A2637del (*3) e G1934A (*4) no gene CYP2D6;
 - o [TTTA]_n no gene CYP19.
- Verificar se a distribuição genotípica dos polimorfismos estudados difere significativamente entre os casos e os controles.



3.1- Casuística

Estudo de associação que analisou 170 indivíduos caucasóides divididos em dois grupos distintos, (I) Sendo 45 pacientes portadores de câncer de mama do tipo adenocarcinoma sem histórico familiar, da região metropolitana de Campinas, atendidos no Hospital de Clínicas da UNICAMP e (II) 120 indivíduos saudáveis, sem diagnóstico de câncer de mama ou sem histórico familiar, atendidos no Programa de Planejamento Familiar do Centro de Atenção Integral à Saúde da Mulher (CAISM) na UNICAMP.

Este estudo foi desenvolvido com DNA armazenado do projeto anterior aprovado pelo CEP e pela CONEP. A responsável pela guarda do material é a Profa. Dra. Carmen Sílvia Bertuzzo, orientadora deste trabalho de mestrado e responsável pela orientação genética dos pacientes. O protocolo de pesquisa foi aprovado e homologado na VII Reunião Ordinária do CEP/FCM, em 26 de julho de 2005 (CEP 365/2005) (Anexo 1).

Um termo de consentimento livre e esclarecido foi assinado pelos participantes (Anexo 2) e um questionário foi utilizado para obter informações detalhadas sobre a história clínica e exames de biópsia mamária dos pacientes e para os controles foi utilizada para obter informações para critérios de inclusão ou exclusão (Anexo 3).

3.1.1- Critérios de inclusão dos casos

 Pacientes com CM, sem histórico familiar e idade de manifestação entre 18 a 55 anos.

3.1.2- Critérios de exclusão dos casos

 Pacientes com CM, com histórico familiar e/ou com idade de manifestação menor que 18 anos ou maior que 55 anos.

3.1.3- Critérios de inclusão para indivíduos do grupo controle

- Não possuir diagnóstico de CM;
- Não possuir histórico familiar de CM, ovário ou próstata.

3.2- Métodos

A extração de DNA foi realizada pelo método fenol-clorofórmio pelo projeto anterior da seguinte forma:

3.2.1- Extração de DNA

A extração do DNA genômico das amostras colhidas foi realizada utilizando-se protocolos manuais de extração de DNA com fenol-clorofórmio. Vinte a 30 mL de sangue venoso foram colhidos dos indivíduos recrutados para o estudo. As amostras foram centrifugadas a 1900 rpm por 10 minutos e a parte intermediária onde estão localizados os leucócitos foi transferida para um tubo de propileno com fundo cônico. Em seguida, foram adicionadas as soluções de RSB 1x (até completar um volume de 11mL) e 60μl de Nonidet. A solução foi então centrifugada a 2900 rpm por 10 minutos e o sobrenadante descartado. Três mL de solução SDS a 10% e 60μl de proteinase K (100mg/mL) foram adicionados e as amostras incubadas a 37°C por 24h. Após a incubação foram acrescentados 3 mL de fenol, seguido de centrifugação a 2500 rpm por 10 minutos e descarte da parte orgânica da solução. Esse processo foi repetido com 1,5 mL de fenol e 1,5 mL de uma solução de álcool isoamílico e clorofórmio (1:24), seguido de 3 mL de uma solução de álcool isoamílico e clorofórmio (1:24). O DNA genômico foi então precipitado com 6,0 mL de etanol absoluto. Esse método propicia a extração de grande quantidade de DNA (acima de 700μg a partir de 20 mL de sangue venoso).

3.2.2- Análises dos polimorfismos

■ Polimorfismo m1 do gene CYP1A1

A análise do polimorfismo m1 foi realizada através da reação em cadeia da polimerase (PCR) por meio do protocolo:

- $\bullet~1~\mu L$ dos iniciadores M1-S e M1-AS (20 pmoles) (Imprint do Brasil Ltda.) (Tabela 1);
 - 2 µL de dNTPs (1,25 mM) cada;
 - 2 µL de Taq DNA polimerase (5 U) (Fermentas);
 - 5 µL de tampão de PCR: 200 mM de Tris-HCl, pH 8,0; 500 mM de HCl;
 - 4 μL de MgCl₂ (50 mM);
 - 34 µL de água ultra-pura estéril.

Tabela 1- Sequência dos iniciadores utilizados para amplificação gênica

Gene	Polimorfismo		Seqüência	Referência	
CYP1A1	m1	Direto Reverso	5' GGC TGA GCA ATC TGA CCC TA 3' 5' TAG GAG TCT TGT CTC ATG CCT 3'	Krajinovic et al.,1999	
	m2	Direto Reverso	5' CTG TCT CCC TCT GGT TAC AGG AAGC 3' 5' TTC CAC CCG TTG CAG CAG GAT AGCC 3'	Krajinovic et al.,1999	
CYP2D6	*3	Direto Reverso	5' GAT GAG CTG CTA ACT GAG CCC 3' 5' CCG AGA GCA TAC TCG GGAC 3'	Krajinovic et al.,1999	
	*4	Direto Reverso	5' GCC TTC GCC AAC CAC TCCG 3' 5' AAA TCC TGC TCT TCC GAG GC 3'	Krajinovic et al.,1999	
CYP19	[TTTA] _n	Direto Reverso	5' GCA GGT ACT TAG TTA GCT AC 3' 5' TTA CAG TGA GCC AAG GTC GT 3'.	Baxter et al., 2001	

Todos os reagentes citados foram misturados em um único microtubo de 1,5 mL (mistura de reação) para garantir a homogeneidade das reações. O volume de cada reagente utilizado foi multiplicado pelo número de amostras que foram utilizadas na reação.

Em cada microtubo de 0,2 mL foi pipetado 1μ L do DNA genômico ($20 \text{ ng/}\mu$ L) previamente extraído e 49μ L da mistura de reação, somando um volume total de 50μ L. Em cada análise foi usado como controle negativo um microtubo contendo água no lugar do DNA genômico. Os microtubos foram levados ao termociclador (PTC-100 Programmable Thermal Controller – MJ Research, Inc.) e submetidos ao programa:

o 1 ciclo: 94°C por 5 minutos;

o 34 ciclos: 94°C por 1 minuto, 63,5°C por 1 minuto, 72°C por 2 minutos;

o 1 ciclo: 72°C por 7 minutos.

Para verificação da amplificação da PCR foi retirada uma alíquota de $7\mu L$ de produto de PCR e misturada com $3\mu L$ de corante azul de bromofenol (15mL de ficol, 20mL de H_2O e 0,0125g de azul de bromofenol). Foi então realizada eletroforese em gel de agarose a 1,5%. Uma vez confirmada esta amplificação, realizou-se a segunda etapa por meio da clivagem com a enzima MspI (Promega Corporation, USA), de acordo com o protocolo seguinte:

- 1 U de enzima de restrição *Msp*I;
- 2µL de tampão da enzima: 50 mM de Tris-HCl, pH 8,0; 10 mM de MgCl₂;
- 2µL de água ultra-pura estéril.

Os reagentes citados foram misturados em um único microtubo de 1,5 mL (mistura de reação) para garantir a homogeneidade das reações. O volume de cada reagente utilizado foi multiplicado pelo número de amostras que foram utilizadas na reação. Em cada microtubo de 0,5 mL foi pipetado 15µL do produto da PCR e 5µL da mistura de reação, somando um volume total de 20µL. A reação permaneceu a 37°C cerca de 16 horas.

A eletroforese do produto da clivagem foi realizada em gel de agarose a 1,5% em Tampão TBE, a 80 volts. A cuba para eletroforese continha tampão TBE 1x (Solução 10x: 121,1g de Tris, 61,83g de ácido bórico, 40mL de EDTA 0,5M e água ultra-pura para completar volume de 1000mL). Após a eletroforese, o gel foi corado com brometo de etídeo (10mg/mL) por cerca de 10 minutos. O gel foi então observado em transiluminador de luz ultra-violeta e fotodocumentado.

Os iniciadores M1-S e M1-AS originam um produto de amplificação de 899 pb com padrão de migração idêntico ao genótipo homozigoto selvagem (+/+), uma vez que este não sofre ação da enzima de restrição *Msp*I, originando uma banda não clivada. O polimorfismo gera um sítio de restrição para a enzima *Msp*I que cliva o produto da amplificação e, dessa maneira o genótipo homozigoto mutante (-/-) gera duas bandas de 693 pb e 206 pb enquanto o genótipo heterozigoto (+/-) corresponde as três bandas de 899, 693 e 206 pb (Krajinovic et al.,1999), como mostra a Figura 1:

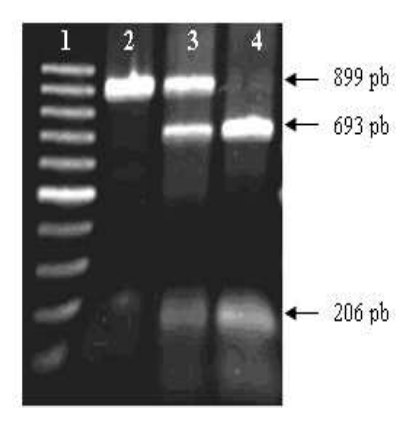


Figura 1- Padrão de bandas para detecção do polimorfismo **m1**. Em 1: marcador de peso molecular de 100 pb; em 2: genótipo homozigoto selvagem 899 pb; em 3: genótipo heterozigoto 899, 693 e 206 pb; em 4: genótipo homozigoto mutante 693 e 206 pb.

Polimorfismo m2 do gene CYP1A1

A análise do polimorfismo m2 foi realizada por meio da reação em cadeia da polimerase (PCR) por meio do protocolo:

- 1 μL dos iniciadores M2-S e M2-AS (20 pmoles) (Imprint do Brasil Ltda.) (Tabela 1);
- 2 μL de dNTPs (1,25 mM);
- 2 µL de Taq DNA polimerase (5 U) (Fermentas);
- 5 µL de tampão de PCR: 200 mM de Tris-HCl, pH 8,0; 500 mM de HCl;
- 4 μL de MgCl₂ (50 mM);
- 34 µL de água ultra-pura estéril.

Todos os reagentes citados foram misturados em um único microtubo de 0,2 mL. Os microtubos foram levados ao termociclador (PTC-100 Programmable Thermal Controller – MJ Research, Inc.) e submetidos ao programa:

- o 1 ciclo: 94°C por 5 minutos;
- o 34 ciclos: 94°C por 1 minuto, 63,5°C por 1 minuto, 72°C por 2 minutos;
- o 1 ciclo: 72°C por 7 minutos;

Para verificação da amplificação da PCR foi retirada uma alíquota de $10\mu L$ de produto de PCR e misturada com $5\Box L$ de corante azul de bromofenol. Foi então realizada eletroforese em gel de poliacrilamida a 12% (3,0mL de TBE 10x; 9,0mL de poliacrilamida 40%; 17,79mL de água ultra-pura estéril; $210,0\mu L$ de persulfato de amônio 10% e $35,0\mu L$ de TEMED). Uma vez confirmada esta amplificação, realizou-se a segunda etapa através da clivagem com a enzima BseMI (Fermentas Life Sciences), de acordo com o protocolo seguinte:

- 1U de enzima de restrição *BseMI*;
- 1μL de tampão da enzima: 50 mM de Tris-HCl, pH 8,0; 10 mM de MgCl₂;
- 3µL de água ultra-pura estéril.

Os reagentes citados foram misturados em um único microtubo de 0,5 mL. Em cada microtubo foram pipetados 5μ L do produto da PCR e 5μ L da mistura de reação, somando um volume total de 10μ L. A reação permaneceu a 55° C durante cerca de 16 horas.

A eletroforese do produto da clivagem foi realizada em gel de poliacrilamida a 12%, a 180 volts. A cuba para eletroforese continha tampão TBE 1x. Após a eletroforese, o gel foi corado com brometo de etídeo por cerca de 10 minutos. O gel foi então observado em transiluminador de luz ultra-violeta e fotodocumentado.

Os iniciadores M2-S e M2-AS originam um produto de amplificação de 204 pb com padrão de migração idêntico ao genótipo homozigoto mutante (-/-), uma vez que este não sofre ação da enzima de restrição *Bse*MI, originando uma banda não clivada. O genótipo homozigoto selvagem (+/+), gera um sítio para a enzima de restrição *Bse*MI, que cliva o produto de amplificação, gerando duas bandas de 149 pb e 55 pb e o genótipo heterozigoto (+/-) corresponde as três bandas de 204, 149 e 55 pb (Krajinovic et al.,1999), como mostra a Figura 2:

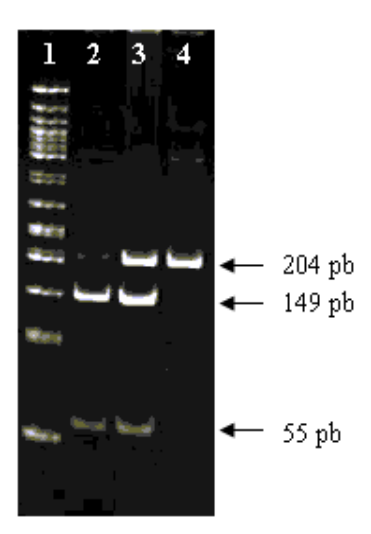


Figura 2- Padrão de bandas para detecção do polimorfismo **m2.** Em 1: marcador de peso molecular de 50 pb; em 2: genótipo homozigoto selvagem 149 e 55 pb; em 3: genótipo heterozigoto 204, 149 e 55 pb; em 4: genótipo homozigoto mutante 204 pb.

■Polimorfismo *3 do gene CYP2D6

A análise do polimorfismo *3 foi realizada por meio da reação em cadeia da polimerase (PCR) por meio do protocolo:

- 1 μL dos iniciadores *3-S e *3-AS (20 pmoles) (Imprint do Brasil Ltda.) (Tabela 1);
- 2μL de dNTPs (1,25 mM);
- 2 µL de Taq DNA polimerase (5 U) (Fermentas);
- 5 μL de tampão de PCR: 200 mM de Tris-HCl, pH 8,0; 500 mM de HCl
- 3 μL de MgCl₂ (50 mM);
- 35 μL de água ultra-pura estéril.

Todos os reagentes citados foram misturados em um único microtubo de 0,2 mL. Os microtubos foram levados ao termociclador (PTC-100 Programmable Thermal Controller – MJ Research, Inc.) e submetidos ao programa:

o 1 ciclo: 94°C por 5 minutos;

o 34 ciclos: 94°C por 1 minuto, 64,5°C por 1 minuto, 72°C por 2 minutos;

o 1 ciclo: 72°C por 7 minutos;

Para verificação da amplificação da PCR foi retirada uma alíquota de 10μL de produto de PCR e misturada com 5μL de corante azul de bromofenol. Foi então realizada eletroforese em gel de poliacrilamida a 12%. Uma vez confirmada esta amplificação, realizou-se a segunda etapa por meio da clivagem com a enzima *Msp*I (Promega Corporation, USA) de acordo com o protocolo seguinte:

- 0,5 U de enzima de restrição *Msp*I;
- 2 μL de tampão da enzima: 50 mM de Tris-HCl, pH 8,0; 10 mM de MgCl₂;
- 2,5 µL de água ultra-pura estéril.

Os reagentes citados foram misturados em um único microtubo de 0,5 mL. Em cada microtubo foram pipetados $15\mu L$ do produto da PCR e $5\mu L$ da mistura de reação, somando um volume total de $20\mu L$. A reação permaneceu a $37^{\circ}C$ durante cerca de 16 horas.

A eletroforese do produto da clivagem foi realizada em gel de poliacrilamida a 12%, a 180 volts. A cuba para eletroforese continha tampão TBE 1x. Após a eletroforese, o gel foi corado com brometo de etídeo por cerca de 10 minutos. O gel foi então observado em transiluminador de luz ultra-violeta e fotodocumentado.

Os iniciadores *3-S e *3-AS originam um produto de amplificação de 270 pb com padrão de migração idêntico ao homozigoto mutante (-/-), uma vez que este não sofre ação da enzima de restrição *Msp*I, originando uma banda não clivada, não identificada na presente amostra. O genótipo homozigoto selvagem (+/+) possui um sítio para a enzima de restrição *Msp*I, que cliva o produto de amplificação, gerando duas bandas de 188 pb e 82 pb e o genótipo heterozigoto (+/-) corresponde as 3 bandas de 270, 188 e 82 pb (Krajinovic et al.,1999), como mostra a Figura 3:

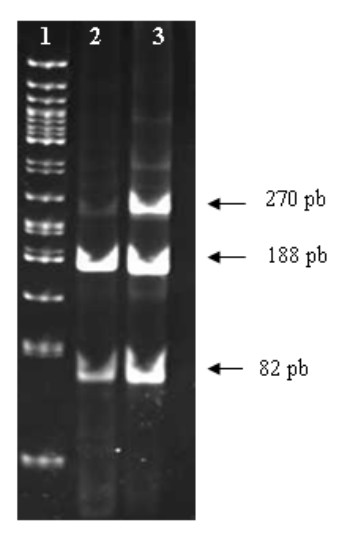


Figura 3- Padrão de bandas para detecção do polimorfismo *3. Em 1: marcador de peso molecular de 50 pb; em 2: genótipo homozigoto selvagem 188 e 82 pb; em 3: genótipo heterozigoto 270, 188 e 82 pb.

■ Polimorfismo *4 do gene CYP2D6

A análise do polimorfismo *4 foi realizada por meio da reação em cadeia da polimerase (PCR) por meio do protocolo:

- 1 μL dos iniciadores *4-S e *4-AS (20 pmoles) (Imprint do Brasil Ltda.) (Tabela 1);
- 2 μL de dNTPs (1,25 mM);
- 2 µL de Taq DNA polimerase (5 U) (Fermentas);
- 5 μL de tampão de PCR: 200 mM de Tris-HCl, pH 8,0; 500 mM de HCl;
- 3 µL de MgCl₂ (50 mM);
- 35 μL de água ultra-pura estéril.

Todos os reagentes citados foram misturados em um único microtubo de 0,2 mL. Os microtubos foram levados ao termociclador (PTC-100 Programmable Thermal Controller – MJ Research, Inc.) e submetidos ao programa:

o 1 ciclo: 94°C por 5 minutos;

o 34 ciclos: 94°C por 1 minuto, 65,5°C por 1 minuto, 72°C por 2 minutos;

o 1 ciclo: 72°C por 7 minutos.

Para verificação da amplificação da PCR foi retirada uma alíquota de 10μL de produto de PCR e misturada com 5□L de corante azul de bromofenol. Foi então realizada eletroforese em gel de poliacrilamida a 12%. Uma vez confirmada esta amplificação, realizou-se a segunda etapa por meio da clivagem com a enzima *Mva* I (Fermentas Life Sciences), de acordo com o protocolo seguinte:

- 0,5 U de enzima de restrição *Mva* I;
- 1,5µL de tampão da enzima: 50 mM de Tris-HCl, pH 8,0; 10 mM de MgCl₂;
- 3µL de água ultra-pura estéril.

Os reagentes citados foram misturados em um único microtubo de 0,5 mL. Em cada microtubo foram pipetados $10\mu L$ do produto da PCR e $5\mu L$ da mistura de reação, somando um volume total de $15\mu L$. A reação permaneceu a $37^{\circ}C$ durante cerca de 16 horas.

A eletroforese do produto da clivagem foi realizada em gel de poliacrilamida a 12%, a 180 volts. A cuba para eletroforese continha tampão TBE 1x. Após a eletroforese, o gel foi corado com brometo de etídeo por cerca de 10 minutos. O gel foi então observado em transiluminador de luz ultra-violeta e fotodocumentado.

Os iniciadores *4-S e *4-AS originam um produto de amplificação de 355 pb com padrão de migração idêntico ao homozigoto mutante (-/-) uma vez que este não sofre ação da enzima de restrição *Mva* I, originando uma banda não clivada. O genótipo homozigoto selvagem (+/+), possui um sítio para a enzima de restrição *Mva* I, que cliva o produto de amplificação, gerando duas bandas de 222 pb e 133 pb e o genótipo heterozigoto (+/-) corresponde as três bandas de 355, 222 e 133 pb (Krajinovic et al.,1999), como mostra a Figura 4:

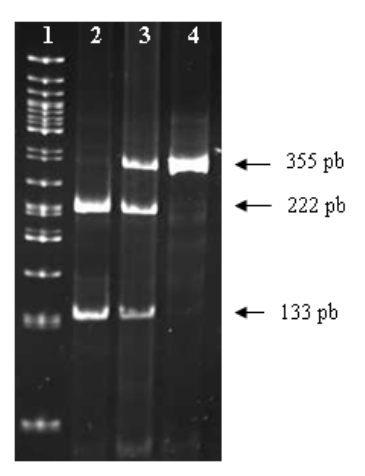


Figura 4- Padrão de bandas para detecção do polimorfismo *4. Em 1: marcador de peso molecular de 50 pb; em 2: genótipo homozigoto selvagem 222 e 133 pb; em 3: genótipo heterozigoto 355, 222 e 133 pb; em 4: genótipo homozigoto mutante 355 pb.

■ [TTTA]_n do gene CYP19

A análise do gene CYP19 foi realizada por meio da reação em cadeia da polimerase (PCR) por meio do protocolo:

- 0,25 μL dos iniciadores 19-S e 19-AS (um deles marcado com fluorescência azul - FAM); (Imprint do Brasil Ltda.) (Tabela 1);
- 1,0 μL de dNTPs (1,25 mM);
- 0,3 µL de Taq DNA polimerase (5 U) (Fermentas);
- 1,0 µL de tampão de PCR: 200 mM de Tris-HCl, pH 8,0; 500 mM de HCl;
- 0,7 µL de MgCl₂ (50 mM);
- 6,5 µL de água ultra-pura estéril.

Todos os reagentes citados foram misturados em um único microtubo de 0,2 mL. Os microtubos foram levados ao termociclador (PTC-100 Programmable Thermal Controller – MJ Research, Inc.) e submetidos ao programa:

- 1 ciclo: 94°C por 5 minutos;
- 34 ciclos: 94°C por 30 segundos, 63°C por 30 segundos, 72°C por 30 segundos;
- 1 ciclo: 72°C por 7 minutos.

O tamanho dos fragmentos foi observado pela genotipagem automática, que foi realizada em um seqüenciador de capilar do modelo MegaBACE 1000, adaptado para genotipagem através de um conjunto específico de filtros e a análise foi feita em um software Fragment Profiler v1.2. Em uma placa de 96 amostras, os produtos da PCR foram diluídos em água (1:20). Em seguida, 2µl de cada diluição foi distribuída em outra placa de 96 amostras previamente preparada com um mistura contendo 7,75µl de Genotyping Loading Solution (0,1% de Tween 20 em H₂O) + 0,25µl de MegaBACE Size standards

ET550-R, perfazendo um volume final de 10μl por amostra em placa própria para o MegaBACE. As amostras foram desnaturadas a 95°C por três minutos antes de serem injetadas no MegaBACE.

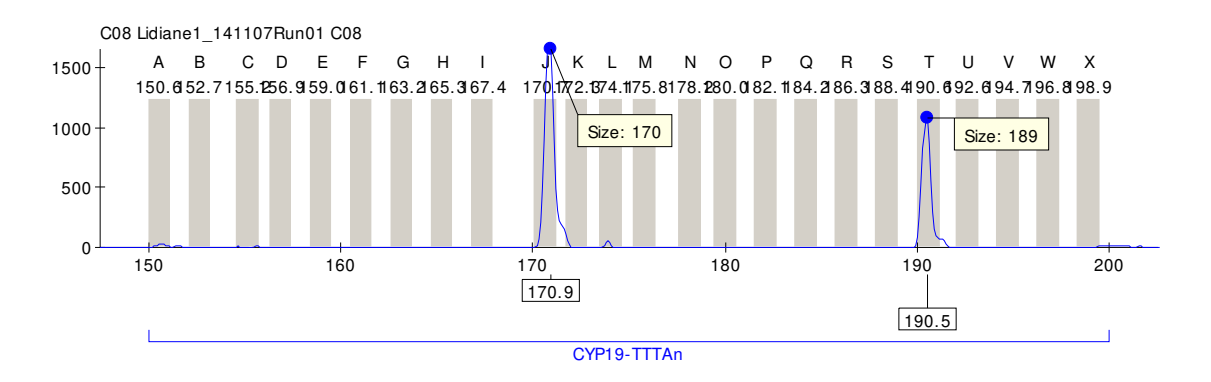
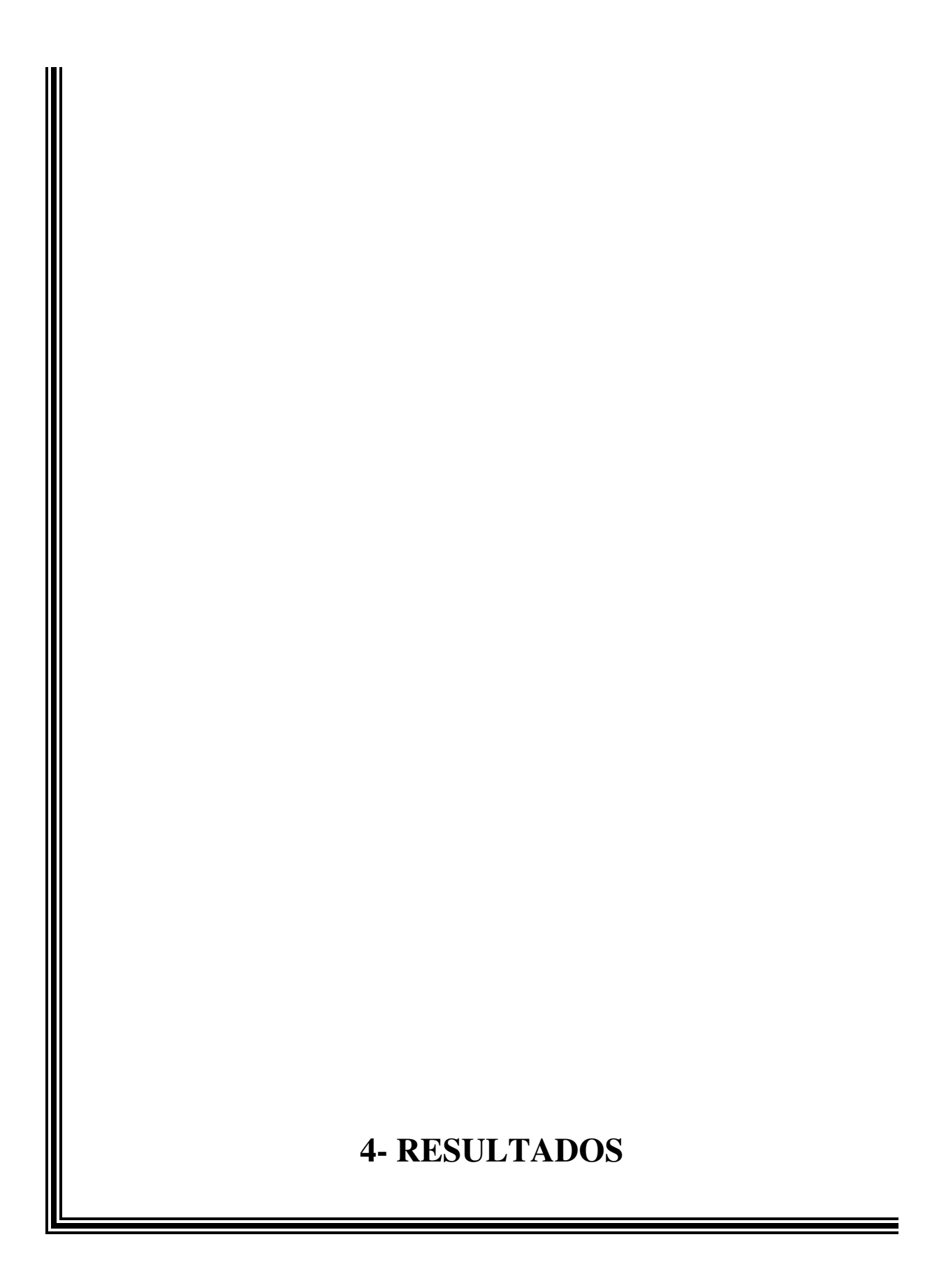


Figura 5- Genotipagem do CYP19

3.3- Análise estatística

As frequências genotípicas observadas foram comparadas com as esperadas, de acordo com o equilíbrio de Hardy-Weinberg.

Para analisar a associação entre as variantes polimórficas estudadas e o câncer de mama, foram comparadas as freqüências dos genes CYP1A1, CYP2D6 e CYP19 de indivíduos portadores de câncer de mama com as de indivíduos controles, através do teste do Qui-quadrado. O valor de $p \le 0.05$ foi adotado como limite de significância.



Os genótipos dos controles encontram-se no Anexo 4 e os parâmetros clínicos e histopatológicos relativos aos tumores dos pacientes, assim como os respectivos genótipos estão apresentados no Anexo 5.

Nos controles (n = 120) a idade variou entre 21 a 100 anos e a média das idades foi de 43 anos. A idade de diagnóstico nos casos variou entre 19 a 55 anos e a média das idades foi de 40. Apenas cinco pacientes apresentaram câncer de mama bilateral.

As análises dos diferentes parâmetros clínicos, como a idade do diagnóstico, carcinoma bilateral, tipo histológico do carcinoma, subtipo histológico do tumor, gradação do carcinoma invasivo, receptor de estrógeno e progesterona, não apresentaram diferenças significativas pelo teste do Qui-quadrado.

Pacientes e controles são do sexo feminino, brancos classificados quanto a cor de pele por um único avaliador.

Quadro 3- Distribuição genotípica dos alelos m1 e m2 do gene CYP1A1 entre os casos de CM e controles

	CYP1A1							
	m1				m2			
	Controles	Casos	χ ² (2)	p	Controles	Casos	χ ² (2)	p
	n= 109	n= 42	1,12	0,57	n= 120	n= 43	0,83	0,65
Homozigoto	76	28			96	34		
Selvagem								
Heterozigoto	27	13			22	9		
Homozigoto	6	1			2	0		
Mutante								

O alelo m1 apresentou frequência gênica de 0,18 nos casos e 0,18 nos controles, enquanto para o alelo m2 entre os casos e controles foram de 0,10 e 0,11, respectivamente.

A distribuição genotípica do m1 mostrou-se de acordo com o equilíbrio de Hardy-Weinberg nos casos $\chi^2=0.00$; p=1 e nos controles $\chi^2=2.68$; p=0,26. E a distribuição genotípica do m2 mostrou-se também de acordo com o equilíbrio de Hardy-Weinberg nos casos $\chi^2=0.7$; p=0.78 e nos controles $\chi^2=0.31$; p=0,85.

Quadro 4- Distribuição genotípica dos alelos *3 e *4 do gene CYP2D6 entre os casos de CM e controles

	CYP2D6							
	*3					*4		
	Controles	Casos	χ ² (2)	p	Controles	Casos	χ ² (2)	p
	n= 120	n= 43	0,15	0,69	n= 120	n= 43	2,41	0,30
Homozigoto	116	41			78	33		
Selvagem								
Heterozigoto	4	2			40	10		
Homozigoto	0	0			2	0		
Mutante								

O alelo *3 apresentou uma frequência gênica de 0,02 nos casos e 0,01 nos controles. A distribuição genotípica mostrou-se de acordo com o equilíbrio de Hardy-Weinberg nos casos $\chi^2 = 1,93$; p = 0,16 e nos controles $\chi^2 = 0,03$; p = 0,98, respectivamente.

O alelo *4 apresentou uma freqüência gênica de 0,11 nos casos e 0,18 nos controles. A distribuição genotípica mostrou-se de acordo com o equilíbrio de Hardy-Weinberg $\chi^2 = 1,24$; p = 0,53 e $\chi^2 = 1,54$; p = 0,46, respectivamente.

Tabela 2- Comparação das atividades metabólicas previstas a partir dos genótipos entre casos e controles dos polimorfismos *3 e *4

		Genótipos				
Grupos	n.	EM %	IEM %	PM %		
Controle	120	60,8	37,5	1,7		
Caso	43	72	28	0		

Na Tabela 2 foi realizado uma comparação por níveis de metabolização entre o grupo controle e o grupo caso, dos polimorfismos *3 e *4 e nenhuma diferença estatística entre os grupos foi encontrada ($\chi^2_{(2)} = 2,18$; p = 0,33).

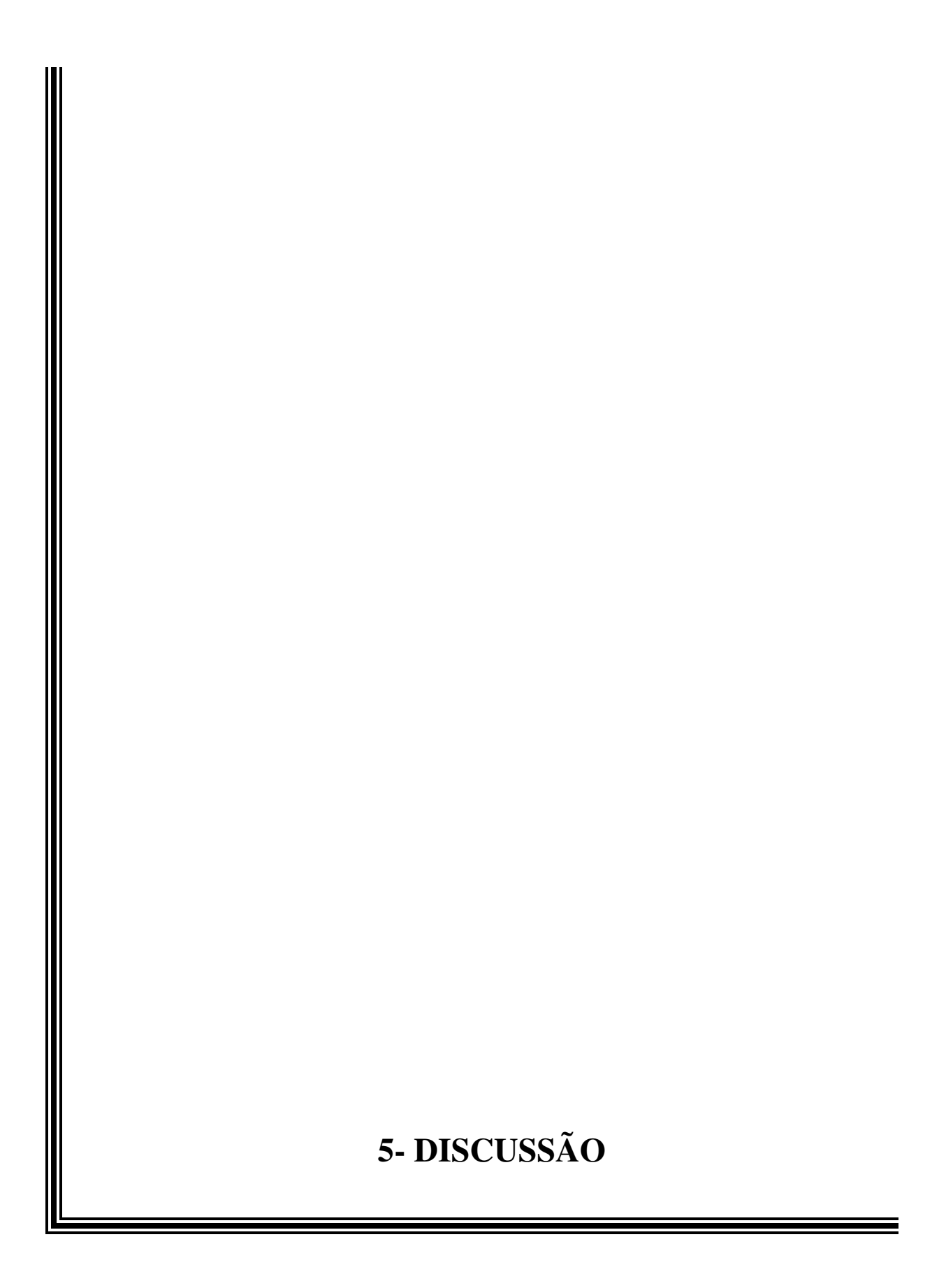
Tabela 3- Distribuição alélica do gene CYP19 entre os casos de CM e controles

Alelo	pb		Controles		Casos	
$[TTTA]_7$ - TCT	170	73	39,67%	22	34,37%	0,45
$[TTTA]_7 + TCT$	173	41	22,28%	16	25%	0,65
$[TTTA]_8$	177	17	9,24%	6	7,81%	0,73
$[TTTA]_9$	181	1	0,54%	0	0,00%	0,55
$[TTTA]_{10}$	185	4	2,17%	2	3,12%	0,67
[TTTA] ₁₁	189	43	23,37%	20	28,12%	0,44
$[TTTA]_{12}$	193	5	2,72%	2	1,56%	0,60
[TTTA] ₁₃	197	0	0,00%	0	0,00%	0,00

Foram analisados 92 controles e 32 casos. Os alelos do polimorfismo do gene CYP19, na amostra controle e de casos encontra-se sumarizada na Tabela 3.

Tanto nos casos ($\chi^2_{(8)} = 3.94$, p = 0.86) como nos controles ($\chi^2_{(8)} = 1.83$, p = 0.98) os genótipos encontram-se em equilíbrio de Hardy-Weinberg.

Não se observou diferença estatisticamente significativa entre as médias nos genótipos CYP1A1 m1, CYP1A1 m2, CYP2D6*3, CYP2D6*4 e dos alelos do CYP19.



Neste trabalho foram analisados polimorfismos dos genes CYP1A1, CYP2D6 e CYP19 e a suscetibilidade ao CM esporádico, em um estudo de associação. A escolha destes genes deve-se ao seu potencial como marcadores de suscetibilidade para diferentes tipos de câncer, indicando indivíduos ou populações com diferenças genéticas capazes de modular a suscetibilidade ao CM.

Dumitrescu e Cotarla (2005) afirmam, em artigo de revisão, que os polimorfismos nos genes CYP1A1, CYP2D6 e CYP19 são de baixa penetrância e estão associados ao aumento ou decréscimo ao risco de CM.

Dois polimorfismos do gene CYP1A1 são freqüentemente estudados e associados com risco de desenvolver câncer de mama, T6235C na região 3' não traduzida e A4889G códon 462 (Ile/Val) (Ambrosone et al.,1995; Moysich et al.,1999; Krajinovic et al., 2001; Basham et al., 2001; Laden et al., 2002).

A análise do polimorfismo m1 do gene CYP1A1 neste estudo não apresentou associação com o CM (p=0.75) e tal resultado está de acordo Taioli et al. (1995) e Bailey et al. (1998) que analisaram populações caucasóides americanas. Li et al. (2004), em uma amostra da população da Carolina do Norte nos Estados Unidos, também não encontraram significância estatística para m1 e o CM.

Taioli et al. (1995) relataram uma associação significativa entre as portadoras do polimorfismo m1 e o risco de câncer de mama em mulheres afro-americanas (OR = 9,7; 95% CI = 2,0-47,9), resultado similar foi publicado em mulheres na pós-menopausa de Formosa por Huang et al. em 1999, (OR = 1,98; 95% CI = 1,01-3,99), também foi sugerido por Shin et al. (2007) em uma amostra de mulheres da Coréia, que o polimorfirsmo m1 pode aumentar a suscetibilidade ao CM. Chacko et al. (2005) analisou mulheres da Índia e demonstrou diferença estatística significante entre os casos e controles de m1 (OR = 4,0; 95% CI = 1,2-13,1; p = 0,02) para os homozigotos m1 e para os heterozigotos m1 (OR = 3,2; 95% CI = 1,7-6,0; p = 0,0005). Ao contrário, Miyoshi *et al* (2002) e Da Fonte de Amorim et al. em 2002, mostraram uma associação entre o polimorfismo m1 e o risco diminuído para o CM em mulheres japonesas (OR = 0,60; 95% CI = 0,41-0,88) e em mulheres brasileiras não caucasianas (OR = 0,30; 95% CI = 0,12-0,76), respectivamente .

Os resultados deste trabalho para CYP1A1 m2 (p = 0,56) concordam com os estudos de Rebbeck et al. (1994); Taioli et al. (1995); Bailey et al. (1998); Shin et al. (2007) que não encontraram associação com risco do CM e o polimorfismo m2. Huang et al. (1999) também não encontraram resultados significantes para o polimorfismo m2, porém pesquisaram mulheres na pós-menopausa.

Miyoshi et al. (2002) verificaram que mulheres japonesas portadoras do polimorfismo m2 apresentam um risco diminuído para o câncer de mama (OR = 0,66; 95% CI = 0,45-0,96), mas um risco aumentado foi encontrado entre mulheres caucasianas fumantes na pós-menopausa por Ambrosone et al. em 1995 (OR = 5,22; 95% CI = 1,16- 23,56) e entre fumantes por Ishibe et al. em 1998 (OR = 3,61; 95% CI = 1,11-11,7). Chacko et al. (2005) analisaram mulheres da Índia e demonstraram diferença estatística significante entre os casos e os controles de m2 (OR = 4,9; 95% CI = 1,3-18,4; p = 0,01) para homozigotos m2 e (OR = 2,4; 95% CI =1,3-4,6; p = 0,007) para heterozigotos m2.

Moysich et al. (1999), identificaram um risco significativamente aumentado do CM entre as portadoras de m2 (OR = 2.9; 95% CI = 1.18-7.45).

Polimorfismos em CYP2D6 são detectados em diversos tipos de câncer. Estão entre os mais comuns os *3 e *4 com uma freqüência de 2,7 e de 28,6%, respectivamente (Topić et al., 2000).

Estatisticamente não significante, a comparação da distribuição dos genótipos entre os casos de CM e controles, dos polimorfismos *3 (p = 0.81) e *4 (p = 0.23) do gene CYP2D6 e das atividades metabólicas dos casos (EM: 85%; IEM: 15%; PM: 0% e p = 0.49) deste trabalho foi similar as investigações dos autores: Topić et al. (2000) realizado na Croácia (EM: 67,1%; IEM: 27,6%; PM: 5,3% e p = 0.164), Smith et al. (1992) em 437 pacientes com CM do Reino Unido (66,8% de EM, 29,3% de IEM e 3,9% de PM e p = 0.90) e de Wolf et al. (1993) em 720 indivíduos também do Reino Unido (66,8% de EM; 29,4% de IEM e 3,8% de PM).

Anthony et al.(1995) postularam que o fenótipo PM pode ser um fator de risco para o CM em mulheres na pós-menopausa.

Ladona et al. (1996) relacionaram um risco aumentado de CM em heterozigotos (EIM) para o polimorfismo *4, que foi mais elevado nos pacientes do que nos controles (31% contra 19,9%; OR = 1,81; 95% CI = 1,06-3,11; p = 0,02) em mulheres espanholas.

No polimorfismo [TTTA]_n, os alelos [TTTA]₇, [TTTA]₁₀ e [TTTA]₁₂ têm sido associados como possíveis alelos para a suscetibilidade ao CM (Kristensen et al.,1998; Siegelmann-Danieli e Buetow, 1999; Haiman et al., 2000).

Kristensen et al. (1998) estudaram a associação entre polimorfismos do CYP19 e o risco do CM entre casos e controles norueguesas e suecas, relatarando que os portadores do alelo [TTTA]₁₂ apresentam um risco significativamente maior para o CM (OR = 2.42, 95% CI = 1.03-5.80). Conflitando com o resultado da associação significativa do alelo [TTTA]₁₂ Siegelmann-Danieli e Buetow (1999), em um estudo entre mulheres caucasianas, observaram uma baixa freqüência do alelo 12, e uma elevada freqüência do alelo 7 entre os casos e controles ([TTTA]₁₂: 1,6% contra 5,3%; [TTTA]₇: 18,5% contra 13,4%).

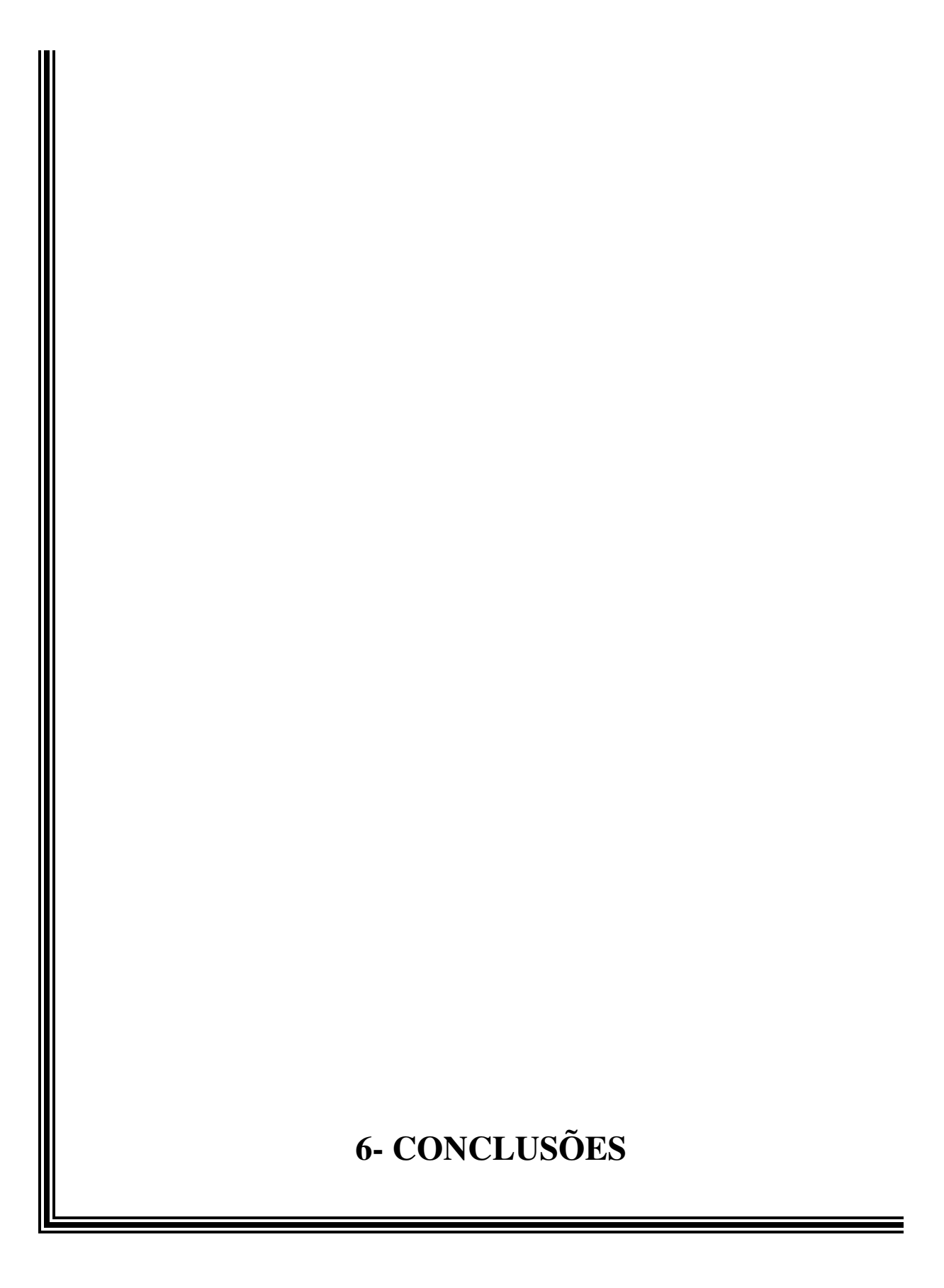
Haiman et al. (2000) em um estudo em Massachusetts identificaram [TTTA]₁₀ como um alelo de risco elevado, quando comparados casos e controles ([TTTA]₁₀: 2,3% contra 0,7%, p = 0,005). Este mesmo achado foi observado por Baxter et al. (2001) em uma amostra da população britânica ([TTTA]₁₀: 1,5% contra 0,2%, p = 0,028) e este mesmo estudo identificou [TTTA]₈ (13,5% contra 8,7%, p = 0.012) com o risco aumentado para o CM, também Ribeiro et al. (2006) identificaram [TTTA]₁₀ três vezes mais freqüente nos casos do que nos controles, apresentando uma associação positiva com o CM (p = 0,048) em uma amostra de mulheres do Rio de Janeiro, no Brasil.

Nem todos os estudos observaram o alelo [TTTA]₁₀ associados ao CM. Probst-Hensch et al. (1999) constataram que a freqüência do alelo [TTTA]₁₀ varia consideravelmente entre os casos de CM das afro-americanas, japonesas, latinas e de não latinas brancas (0-3%) e, nestes grupos, a freqüência do alelo [TTTA]₁₀ foi maior entre os

controles do que nos casos. Os resultados do presente trabalho também não apresentaram significância estatística entre o CM e os alelos [TTTA]₇, [TTTA]₁₀ e [TTTA]₁₂.

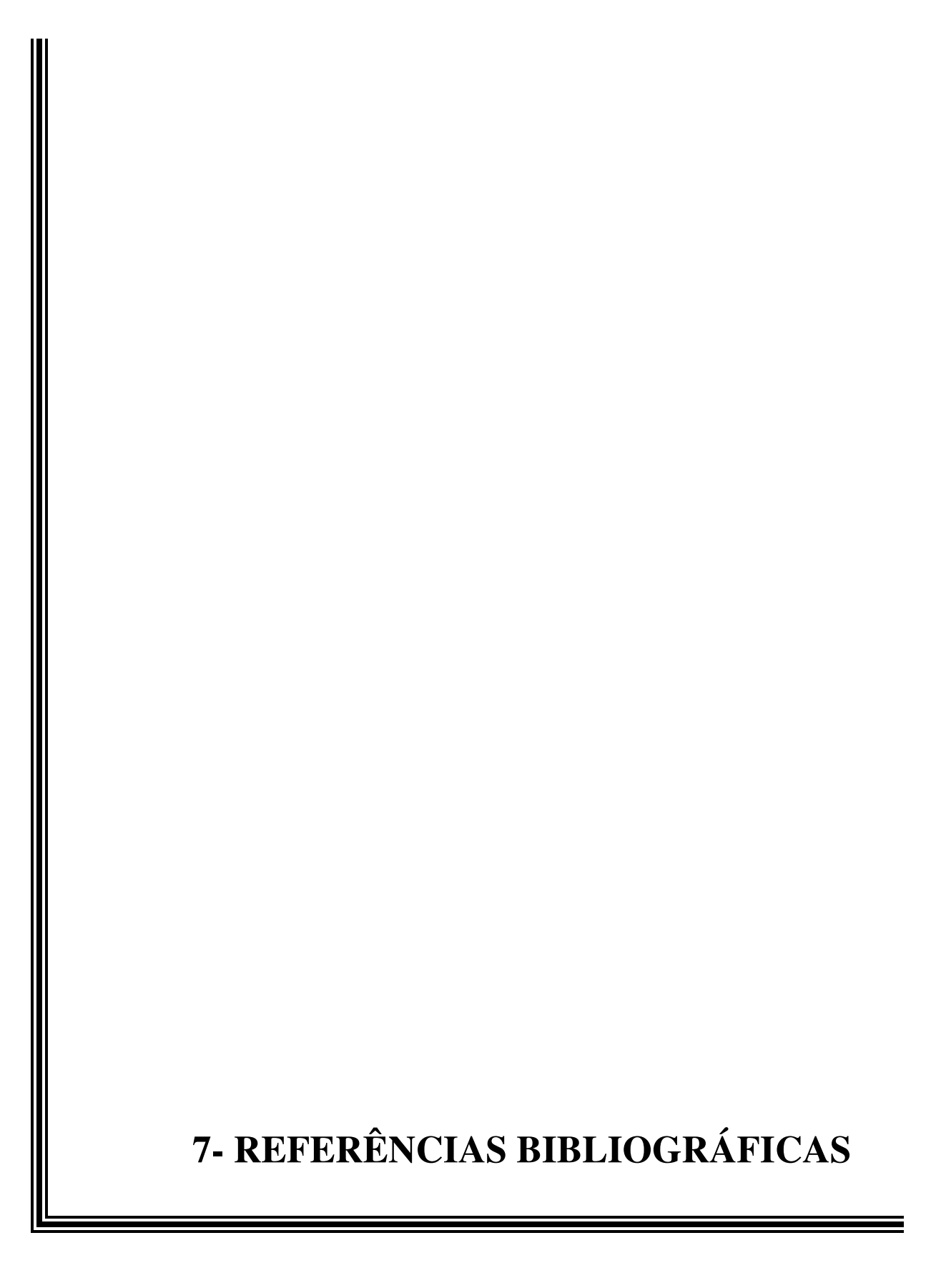
Como se pode observar no desenvolvimento deste trabalho, os resultados sobre a associação dos genes estudados e o risco de desenvolvimento de CM são em geral controversos. Este fato pode ser devido tanto a fatores biológicos, como as diferentes distribuições gênicas em diferentes etnias, a desequilíbrios de ligação (Pharoah et al., 2004), a exposição a fatores ambientais (Dunning et al., 1999).

Os resultados desta pesquisa sugerem que os polimorfismos gênicos estudados não estariam associados ao CM nesta amostra.



Com relação à presente amostra:

- As distribuições genotípicas do gene CYP1A1, CYP2D6 e CYP19 em indivíduos do grupo caso e controle se encontram em equilíbrio de Hardy-Weinberg.
- 2. As frequências gênicas encontradas entre os casos foram: 0,18 para m1 e 0,10 para m2 (gene CYP1A1), 0,02 para *3 e 0,11 para *4 (gene CYP2D6) e 34,37; 25; 7,81; 3,12; 28,12; 1,56 para [TTTA]7 –TCT, + TCT, 8, 10, 11, 12 (gene CYP19), respectivamente.
- 3. As freqüências gênicas encontradas entre os controles foram: 0,18 para m1 e 0,11 para m2 (gene CYP1A1), 0,01 para *3 e 0,18 para *4 (gene CYP2D6) e 40; 22,28; 9,24; 0,54; 2,17; 23,37; 2,72 para [TTTA]₇ –TCT, + TCT, 8, 9, 10, 11, 12 (gene CYP19), respectivamente.
- 4. Não foi encontrada associação dos polimorfismos estudados dos genes CYP1A1, CYP2D6 e CYP19 e o câncer de mama esporádico na amostra de indivíduos da região metropolitana de Campinas.



Alberts B, Bray D, Lewis J, Raff M, Roberts K, Watson JD. Biologia Molecular da Célula. 3ª ed., Porto Alegre: Artes Médicas; 1997. p.1255-91.

Alberts B, Johnson A, Lewis J, Raff M, Roberts K, Walter P. Molecular biology of the cell. 4^a ed., New York: Garland Science, 2002.

Ambrosone CB, Freudenheim JL, Graham S, Marshall JR, Vena JE, Brasure JR, et al. Cytochrome P4501A1 and glutathione S-transferase (M1) genetic polymorphisms and postmenopausal breast cancer risk. Cancer Res 1995; 55: 3483–5.

Anthony LB, Thomas JB, Hande KR. Cytochrome P-450IID6 phenotyping in câncer patients: debrisoquine and dextromethorphan as probes. Cancer Chemother Pharmacol 1995;36: 125–8.

Autrup H. Genetic polymorphisms in human xenobiotic metabolizing enzymes as susceptibility factors in toxic response. Mutation Research, 2000; 464: 65-76.

Ayesh R, Idle JR, Ritchie JC, Crothers MJ, Hetzel MR. Metabolic oxidation phenotypes as markers for susceptibility to lung cancer. Nature, 1984; 312: 169-170.

Bagnoli VR, Da Fonseca AM, Arie WMY. Assistencia à mulher climatérica tratada de neoplasia maligna. In: Guimarães JRQ. Manual de Oncologia. 2a ed. São Paulo: BBS Editora; 2006. p. 607-612.

Bailey LR, Roodi N, Verrier CS, Yee CJ, Dupont WD, Parl FF. Breast cancer and CYPIA1, GSTM1, and GSTT1 polymorphisms: evidence of a lack of association in Caucasians and African–Americans. Cancer Res 1998; 58: 65–70.

Barros AC. Qual(is) é(são) a(s) causa(s) do câncer de mama? In: Boff RA e Wisintainer F. O que as mulheres querem saber sobre câncer de mama. As 100 perguntas mais freqüentes. 3ª ed. Caxias do Sul: Mesa Redonda; 2005. p.33-34.

Bartsch H. Studies on biomarkers in cancer etiology and prevention: a summary and challenge of 20 years of interdisciplinary research. Mutat Res 2000; 462: 255-279.

Basham VM, Pharoah PD, Healey CS, Luben RN, Day NE, Easton DF, et al. Polymorphisms in *CYP1A1* and smoking: no association with breast cancer risk. Carcinogenesis 2001; 22: 1797–800.

Baxter SW, Choong DY, Eccles DM, Campbell IG. Polymorphic variation in CYP19 and the risk of breast cancer. Carcinogenesis 2001; 22: 347–9.

Benet LZ, Sheiner LB. Farmacocinética: a dinâmica da absorção, da distribuição e eliminação das drogas. In: Gilman AG, Goodman LS, Rall TW, Murad F. (eds.). 7.ª ed. As Bases Farmacológicas da Terapêutica. Rio de Janeiro: Guanabara Koogan; 1987.

Bertilsson L. Geographical/interracial differences in polymorphic drug oxidation. Current state of knowledge of cytochromes P450 (CYP) 2D6 and 2C19. Clinical Pharmacokinet 1995; 29: 192-209.

Bilimoria MM, Morrow M. The woman at increased risk for breast cancer: evaluation and management strategies. CA Cancer J Clin 1995; 45(5): 263-78.

Boyapati SM, Shu XO, Gao YT, Cai Q, Jin F, Zheng W. Polymorphisms in CYP1A1 and breast carcinoma risk in a population-based case-control study of Chinese women. Cancer 2005 Jun 1;103(11): 2228-35

Butlletí G. Reacciones adversas relacionadas con la metabolización de los fármacos. Pamplona, Butlletí Groc, Barcelona 1999; 12(3): 9-11.

Caporaso N. Selection of candidate genes for population studies. In: Metabolic polymorphisms and susceptibility to cancer. IARC Scientific publications. Lyons 1999;148: 23-36.

Cascorbi I, Brockmöller J, Roots I. A C4887A polymorphism in exon 7 of human CYP1A1: Population frequency, mutation linkages, and impact on lung cancer susceptibility. Cancer Research 1996; 56: 4965-4969.

Chacko P, Joseph T, Mathew BS, Rajan B, Pillai MR. Role of xenobiotic metabolizing gene polymorphisms in breast cancer susceptibility and treatment outcome. Mutat Res 2005 Mar 7; 581(1-2): 153-63.

Chen S, Besman MJ, Sparkes RS, Zollman S, Klisak I, Mohandas T, et al. Human aromatase: cDNA cloning, Southern blot analysis, and assignment of the gene to chromosome 15. DNA 1988; 7: 27-38.

Collins JA, Blake JM, Crosignani PG. Breast cancer risk with postmenopausal hormonal treatment. Human Reprod. Update 2005; 11(6): 545-560.

Crespi CL, Penman B, Gelboin HV, Gonzalez FJ. A tobacco smoke-derived nitrosamine, 4-(methylnitrosamino)-1-(3-pyridyl)-1-butanone, is activated by multiple human cytochrome P-450s including the polymorphic human cytochrome P-4502D6. Carcinogenesis 1991; 12: 1197-1201.

Crofts F, Cosma GN, Currie D, Taioli E, Toniolo P, Garte SJ. A novel CYP1A1 gene polymorphism in African-Americans. Carcinogenesis 1993; 14: 1729-1731.

Crofts F, Taioli E, Trachman J, Cosma GN, Currie D, Toniolo P, *et al.* Functional significance of different human CYP1A1 genotypes. Carcinogenesis 1994; 15: 2961-2963.

Crum CP. Trato genital e mama femininos. In: Robbins SL, Cotran RS, Kumar V. Fundamentos de Patologia Estrutural e Funcional. 5^a ed, Rio de Janeiro: Guanabara Koogan; 1996. p.936-1002.

Da Fonte de Amorim L, Rossini A, Mendonca G, Lotsch P, de Almeida Simao T, de Moura Gallo C, et al. CYP1A1, GSTM1, and GSTT1 polymorphisms and breast cancer risk in Brazilian women. Câncer Lett 2002; 181:179–86.

Da Silva JLF, Amadei LPP. Tratamento radioterápico do câncer de mama. In: Guimarães JRQ. Manual de Oncologia. 2ª ed. São Paulo: BBS Editora; 2006. p.571-584.

De Jong MM, Nolte IM, Te Meerman GJ, Van der Graaf WT, Oosterwijk JC, Kleibeuker JH, et al. Genes other than BRCA1 and BRCA2 involved in breast cancer susceptibility. J Med Genet 2002; 39(4): 225-42.

Dumitrescu RG, Cotarla I. Understanding breast cancer risk - where do we stand in 2005? J Cell Mol Med 2005; 9(1): 208-21.

Dunning AM, Healey CS, Pharoah PDP, Teare MD, Ponder BAJ, Easton DF. A systematic review of genetic polymorphisms ans breast cancer risk. Cancer Epidemiol Biomark Prev 1999; 8: 843-854.

Eklund GW, Amaral BB. O que é melhor pra o diagnóstico precoce do câncer de mama: mamografia ou ecografia mamária? Qual é a freqüencia para o uso da mamografia como método de rastreamento? In: Boff RA e Wisintainer F. O que as mulheres querem saber sobre câncer de mama. As 100 perguntas mais freqüentes. 3ª ed. Caxias do Sul: Mesa-Redonda; 2005. p.76-80.

Eubanks M. Biomarkers: the clues to genetic susceptibility. Environ Health Perspect 1994; 102: 50-56.

Feigelson HS, Ross RK, Yu MC, Coetzee GA, Reichardt JK, Henderson BE. Genetic susceptibility to cancer from exogenous and endogenous exposures. J Cell Biochem Supl 1996; 25: 15-22.

Garte SJ. The role of ethnicity in cancer susceptibility gene polymorphisms: the example of CYP1A1. Carcinogenesis 1998; 19: 1329-1332.

Gil, AR. Qual a incidência de câncer de mama no Brasil e no mundo? É verdade que esse número está aumentando? Por quê? A mortalidade continua alta? In: Boff RA e Wisintainer F. O que as mulheres querem saber sobre câncer de mama. As 100 perguntas mais freqüentes. 3ª ed. Caxias do Sul: Mesa-Redonda; 2005. p.33-34.

Gilliland FD. Ethnic differences in cancer incidence: a marker for inherited susceptibility? Environ. Health Perspect 1997; 105: 897-900.

Gough AC, Smith CAD, Howell SM, Wolf CR, Bryant SP, Spurr NK. Localization of the CYP2D gene locus to human chromosome 22q13.1 by polymerase chain reaction, in situ hybridization, and linkage analysis. Genomics 1993; 15: 430-432.

Guenguerich FP. Metabolism of chemical carcinogens. Carcinogenesis 2000; 21: 345-351.

Guimarães JRQ, Guimarães MMQ, de Paula Filho U. Detecção precoce dos cânceres ginecológico e mamário. In: Guimarães JRQ. Manual de Oncologia. 2ª ed. São Paulo: BBS Editora; 2006. p.613-616.

Haiman CA, Hankinson SE, Spiegelman D, De Vivo I, Colditz GA, Willett WC, et al. A tetranucleotide repeat polymorphism in CYP19 and breast cancer risk. Int J Cancer 2000; 87: 204–10.

Hatagima A. Genetic polymorphisms and metabolism of endocrine disruptors in cancer susceptibility. Cad Saúde Pública 2002; Rio de Janeiro, 18(2): 357-377.

Hayashi S, Watanabe J, Nakachi K, Kawajiri K. Genetic polymorphisms of the lung cancer-associated MspI polymorphisms with amino acid replacement in the heme binding region of the human cytochrome P450A1 gene. Journal of Biochemistry 1991; 110: 407-411.

Healey CS, Dunning AM, Durocher F, Teare D, Pharoah PD, Luben, RN, Easton DF, Ponder BA. Polymorphisms in the human aromatase cytochrome P450 gene (CYP19) and breast cancer risk. Carcinogenesis 2000; 21(2): 189-193.

Hildebrand CE, Gonzalez FJ, Mcbride OW, Nebert DW. Assignment of the human 2,3,7, 8-tetrachlorodibenzo-p-dioxin-inducible cytochrome P1-450 gene to chromosome 15. Nucleic Acids Research 1985; 13: 2009-2016.

Honkakoski P, Neghishi M. The structure, function and regulation of cytochrome P450 2A enzymes. Drug Metab Rev 1997; 29: 977-996.

Huang CS, Shen CY, Chang KJ, Hsu SM, Chern HD. Cytochrome P4501A1 polymorphism as a susceptibility factor for breast cancer in postmenopausal Chinese women in Taiwan. Br J Cancer 1999; 80: 1838–43.

Hussain SP, Harris CC. Molecular epidemiology of human cancer: contribution of mutation spectra studies of tumor suppressor genes. Cancer Res 1998; 58: 4023-4037.

Idle J. Is environmental carcinogenesis modulated by host polymorphism? Mutat Res 1991; 247: 259-266.

Idle JR, Mahgoub A, Lancaster R, Smith RL. Hypotensive response to debrisoquine and hydroxylation phenotype. Life Sci 1978 Mar; 22(11): 979-83.

INCA: Instituto Nacional de Câncer do Ministério da Saúde. Disponível em: http://www.inca.org.br Acesso em: Novembro de 2007.

Ishibe N, Hankinson SE, Colditz GA, Spiegelman D, Willett WC, Speizer FE, et al. Cigarette smoking, cytochrome P450 1A1 polymorphisms, and breast cancer risk in the Nurses' Health Study. Cancer Res 1998; 58: 667–71.

Jemal A, Murray T, Ward E, Samuels A, Tiwari RC, Ghafoor A, et al. Cancer statistics, 2005. CA Cancer J Clin 2005; 55(4): 259.

Kato S, Shields G, Caporaso N, Sugimura H, Trivers GE, Tucker MA, *et al.* Analysis of cytochrome p450 2E1 genetic polymorphisms in relation to human lung cancer. Cancer Epidemiol Biomark Prev 1997; 3: 515-518.

Kawajiri K, Nakachi K, Imai K, Watanabe J, Hayashi S. The CYP1A1 gene and cancer susceptibility. Critical Reviews in Hematologic Oncology 1993; 14: 77-87.

Kawajiri K, Nakachi K, Imai K, YoshiI A, Shinoda N, Watanabe J. Identification of genetically high risk individuals to lung cancer by DNA polymorphisms of the cytochrome P450IA1 gene. FEBS Letters 1990; 263: 131-133.

Kimura S, Umeno M, Skoda RC, Meyer UA, Gonzalez FJ. The human debrisoquine 4-hydroxylase (CYP2D) locus: sequence and identification of the polymorphic *CYP2D6* gene, a related gene, and a pseudogene. Am J Hum Genet 1989; 45: 889-904.

Krajinovic M, Labuda D, Richer C, Karimi S, Sinnett D. Susceptibility to childhood acute lymphoblastic leukemia: influence of CYP1A1, CYP2D6, GSTM1, and GSTT1 genetic polymorphisms. Blood. 1999 Mar 1; 93(5): 1496-501.

Krajinovic M, Ghadirian P, Richer C, Sinnett H, Gandini S, Perret C, et al. Genetic susceptibility to breast cancer in French- Canadians: role of carcinogen-metabolizing enzymes and gene–environment interactions. Int J Cancer 2001; 92: 220–5.

Kristensen VN, Anderson TI, Lindblom L, Erikstein B, Magnus P, B'Orrensen-Dale AL. A Rare CYP19 (aromatase) variant may increase the risk of breast cancer. Pharmacogenetics 1998; 8: 43–48.

Kristensen VN, Borresen-Dale AL. Molecular epidemiology of breast cancer: genetic variation in steroid hormone metabolism. Mutat Res 2000; 462: 323–333.

Laden F, Ishibe N, Hankinson SE, Wolff MS, Gertig DM, Hunter DJ, et al. Polychlorinated biphenyls, cytochrome P450 1A1, and breast cancer risk in the Nurses' Health Study. Cancer Epidemiol Biomarkers Prev 2002; 11: 1560–5.

Ladona MG, Abildúa RE, Ladero JM, Román JM, Plaza MA, Agúndez JA, *et al.* CYP2D6 genotypes in Spanish women with breast cancer. Cancer Lett 1996 Jan 19; 99(1): 23-8.

Lewis BJ, Conry RM. Câncer de mama. In: Benett JC, Plum F. Tratado de medicina interna. 20^a ed, v. 2, Rio de Janeiro: Guanabara Koogan; 1997. p.1461-66.

Li Y, Millikan RC, Bell DA, Cui L, Tse CJ, Newman B, *et al.* Cigarette smoking, cytochrome p4501A1 polymorphisms, and breast cancer among African-Amercan and white women. Breast Cancer Res 2004; 6: 460-473.

Linhares JJ, da Silva IDCG, de Souza NCN, Noronha EC, Ferraro O, Baracat FF. Polymorphism in genes of the progesterone receptor (PROGINS) in women with breast cancer. A case-control study. Rev Bras Ginecol Obstet 2005; 8: 27.

Llama EF, Avendaño C. Principios de farmacocinética y metabolismo de fármacos. In: Avendaño C. Introducción a la Química Farmacéutica. Madri: Interamericana-McGraw Hill; 1993.

Masson LF, Sharp L, Cotton SC, Little J. Cytochrome P-450 1A1 gene polymorphisms and risk of breast cancer: a HuGE review. Am J Epidemiol 2005 May 15;161(10): 901-15.

McPherson K, Steel CM, Dixon JM. ABC of breast diseases. Breast cancer-epidemiology, risk factors, and genetics. BMJ. 2000;321:624-8

Mendelson CR, Means GD, Mahendroo MS, Corbin CJ, SteinkampfMP, Graham-Lorence S, et al. Use of molecular probes to studyregulation of aromatase cytochrome P-450. Biol Reprod 1990; 42: 1–10.

Mendonça FF, Urata YN, Buosi TB, Kowalski LP, Rainho CA, Rogatto SR. Genotipagem dos genes CYP1A1, CYP1A2, GSTM1 e GSTT1 em carcinomas de células escamosas de cabeça e pescoço. Resumos do 49º Congresso Brasileiro de Genética. Águas de Lindóia, SBG, 2003. 1 CD-ROM.

Meyer U. Overview of enzymes of drug metabolism. J Pharmacokinet Biopharm 1996; 24: 449-459.

Mitrunen K, Hirvonen A. Molecular epidemiology of sporadic breast cancer: the role of polymorphic genes involved in oestrogen biosynthesis and metabolism. Mutat Res 2003; 544: 9–41.

Miyoshi Y, Takahashi Y, Egawa C, Noguchi S. Breast cancer risk associated with CYP1A1 genetic polymorphisms in Japanese women. Breast J 2002; 8: 209–15.

Moysich KB, Shields PG, Freudenheim JL, Schisterman EF, Vena JE, Kostyniak P, et al. Polychlorinated biphenyls, cytochrome P4501A1 polymorphism, and postmenopausal breast cancer risk. Cancer Epidemiol Biomarkers Prev 1999; 8: 41–4.

Nebert DW, Mckinnon RA, Puga A. Human drug-metabolizing enzyme polymorphisms: effects on risk of toxicity and cancer. DNA Cell Biol 1996; 15: 273-280.

Nebert DW. Role of genetics and drug metabolism in human cancer risk. Mutat Res 1991; 247: 267-281.

Nussbaum, RL, McInnes RR, Willard HF. In: Thompson e Thompson Genética Médica. 6^a ed, Rio de Janeiro. Guanabara Koogan; 2002. p.276-293.

O'Neill JS, Elton RA, MillerWR. Aromatase activity in adipose tissue from breast quadrants: a link with tumour site. Br Med J (Clin Res Ed) 1988; 296: 741–3.

Park SK, Kang D, Noh DY, Lee KM, Kim SU, Choi JY, et al. Reproductive factors, glutathione S transferase M1 and T1 genetic polymorphism and breast cancer risk. Breast Cancer Res Treat 2003; 78: 89-96.

Parkin DM, Bray FI, Devesa SS. Cancer burden in the year 2000. The global picture. Eur J Cancer 2001; 37: 4-66.

Parkinson A. Biotransformation of xenobiotics. In: Casarett e Doull's Toxicology. The Basic Science of Poisons (C. D. Klaassen, ed.) 5^a ed. New York/Saint Louis/San Francisco: McGraw-Hill. 1996; 6: 113-186.

Perera FP. Molecular epidemiology: insights into cancer susceptibility, risk assessment, and prevention. J Natl Cancer Inst 1996; 88: 496-509.

Peters WHM, Kremers PG. Cytocromes P450 in the intestinal mucosa of man. Biochem Pharmacol 1989; 38: 1.535-1.538.

Pharoah PDP, Dunning AM, Ponder PAJ, Easton DF. Association studies for finding cancer-susceptibility genetic variants. Nat Rev Cancer 2004; 4: 850-860.

Pinotti M. A amamentação protege contra o de câncer de mama? E o número de filhos? In: Boff RA e Wisintainer F. O que as mulheres querem saber sobre câncer de mama. As 100 perguntas mais frequentes. 3ª ed. Caxias do Sul: Mesa-Redonda; 2005. p.50.

Polymeropoulos MH, Xiao H, Rath DS, Merril CR. Tetranucleotide repeat polymorphism at the human aromatase cytochrome P-450 gene (*CYP19*). Nucleic Acids Res 1991; 19: 195.

Probst-Hensch NM, Ingles SA, Diep AT, Haile RW, Stanczyk FZ, Kolonel LN, et al. Aromatase and breast cancer susceptibility. Endocr Relat Cancer 1999; 6: 165–173.

Rebbeck TR, Rosvold EA, Duggan DJ, Zhang J, Buetow KH. Genetics of CYP1A1: coamplification of specific alleles by polymerase chain reaction and association with breast cancer. Cancer Epidemiol Biomarkers Prev 1994; 3: 511-14.

Relling MV, Evans WE. Genetic polymorphisms of drug metabolism. In: Evans WE, Schentag JJ, Jusko WJ. (eds.). Applied Pharmacokinetics: principles of therapeutic drug monitoring. Vancouver: Applied Therapeutics; 1992.

Ribeiro FS, de Amorim LM, de Almeida Simão T, Mendonça GA, de Moura Gallo CV, Pinto LF. CYP19 (TTTA)_n polymorphism and breast cancer risk in Brazilian women. Toxicol Lett 2006; 164(1): 90-5.

Sachse C, Brockmöller J, Bauer S, Roots I. Cytochrome P450 2D6 variants in a Caucasian population: Allele frequencies and phenotypic consequences. American Journal of Human Genetics 1997; 60: 284-295.

Shi CY, Seow A, Lin Y, Chia KS, Ong CN, Chan SH, *et al.* Biomarkers: a molecular approach to cancer epidemiology. Ann Acad Med Singapore 1996; 25: 49-54.

Shimada T, Fujii-Kuriyama Y. Metabolic activation of polycyclic aromatic hydrocarbons to carcinogens by cytochromes P450 1A1 and 1B1. Cancer Sci 2004; 95(1): 1-6.

Shin A, Kang D, Choi JY, Lee KM, Park SK, Noh DY, et al. Cytochrome P450 1A1 (CYP1A1) polymorphisms and breast cancer risk in Korean women. Exp Mol Med. 2007 Jun 30; 39(3): 361-6.

Siegelmann-Danieli N, Buetow KH. Constitutional genetic variation at the human aromatase gene (CYP19) and breast cancer risk. Br J Cancer 1999; 79: 456–63.

Silva AS, Ropelatto C, Filippini CAF, Bianchini E, Bagatinil F, Brocardo GA, et al. Ocorrência de câncer de mama no Brasil e no Estado de Santa Catarina. Newslab 2002; 98: 100.

Smith CA, Moss JE, Gough AC, Spurr NK, Wolf CR. Molecular genetic analysis of the cytochrome P450-debrisoquine hydroxylase locus and association with cancer susceptibility. Environ Health Perspect 1992; 98: 107–12.

Sparkes RS, Mohandas T, Chen S, Besman MJ, Zollman S, Shively JE. Assignment of the aromatase gene to human chromosome 15q21. Cytogenet Cell Genet 1987; 46: 696-697.

Sturgis EM, Castillo EJ, Li L, Zheng R, Eicher SA, Clayman GL, *et al.* Polymorphisms of DNA repair gene XRCC1 in squamous cell carcinoma of the head and neck. Carcinogenesis 1999; 20(11): 2125-9.

Stüven T, Griese EU, Kroemer HK, Eichelbaum M, Zanger UM. Rapid detection of CYP2D6 null alleles by long distance- and multiplex polymerase chain reaction. Pharmacogenetics 1996; 6(5): 417-21.

Taioli E, Trachman J, Chen X, Toniolo P, Garte SJ. A CYP1A1 restriction fragment length polymorphism is associated with breast cancer in African–American women. Cancer Res 1995; 55: 3757–8.

Toda K, Merashima M, Kawamoto T, Sumimoto H, Yokoyama Y, Kuribayashi I, *et al.* Structural and functional characterization of human aromatase P-450 gene. Europ J Biochem 1990; 193: 559-565.

Topić E, Stefanović M, Ivanisević AM, Petrinović R, Curcić I. The cytochrome P450 2D6 (*CYP2D6*) gene polymorphism among breast and head and neck cancer patients. Clin Chim Acta 2000; 296(1-2): 101-9.

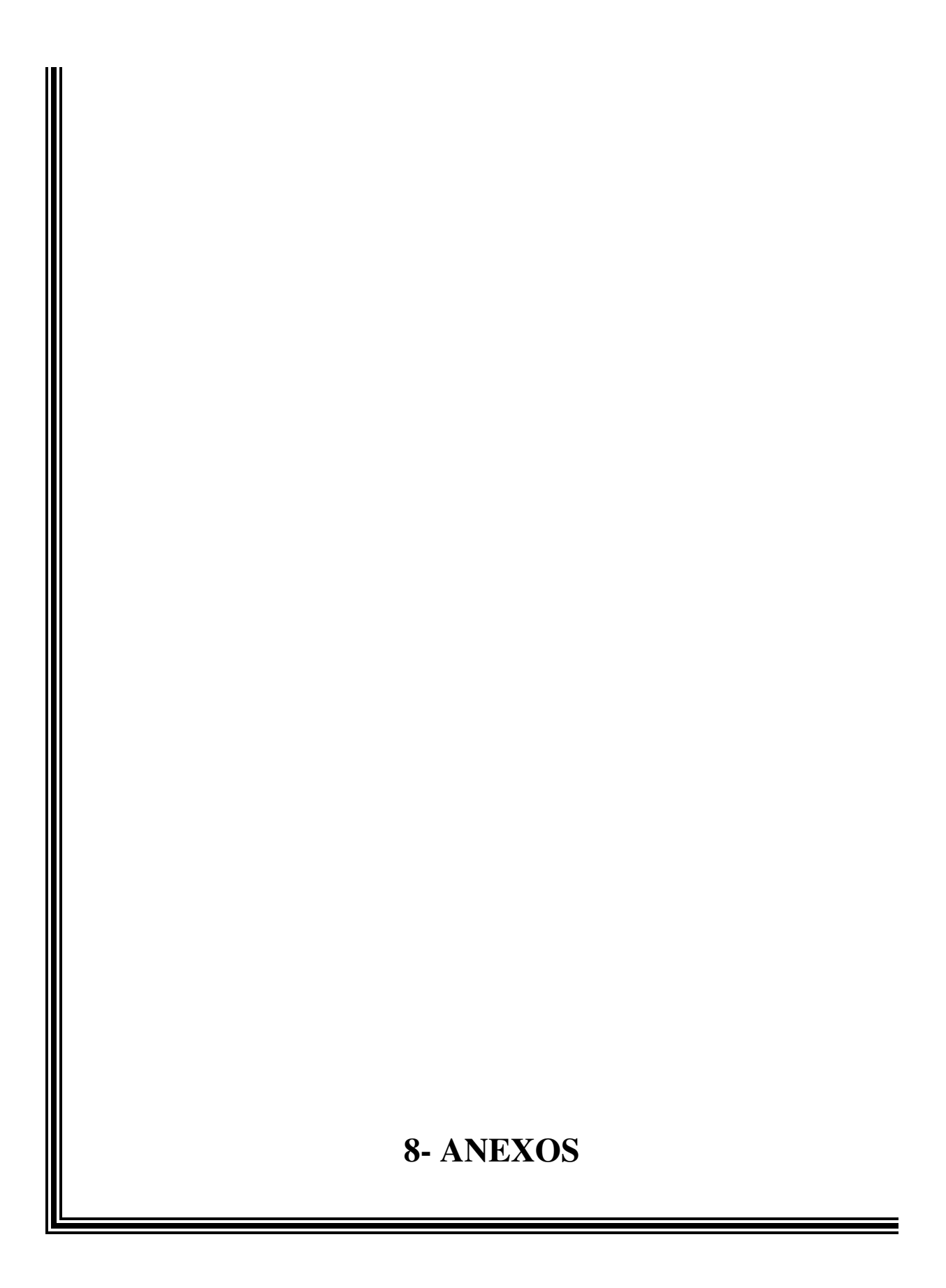
Vaury C, Laine R, Noguiez P, De Coppet P, Jaulin C, Praz F, *et al.* Human glutathione S-transferase CYP1A1*2A null genotype is associated with a high inducibility of citochrome P450 1A1 gene transcription. Cancer Res 1995; 55: 5520-5523.

Watkins PB, Wrington SA, Schuetz EG, Molowa DT, Guzelian PS. Identification of glucocorticoid-inducible cytochromes P450 in the intestinal mucosa of rats and man. J Clin Invest 1987; 80: 1029-1036.

Watkins PB. Drug metabolism by cytochromes P450 in the liver and small bowel. Gastroenterology Clin North Am 1992; 21: 511-526.

Weinberg RA. The integrations of molecular genetics into cancer management. Cancer 1992; 70: 1653-1658.

Wolf CR, Smith CA, Gough AC, Moss JE, Vallis KA, Howard G, et al. Relationship between the debrisoquine hydroxylase polymorphism and cancer susceptibility. Carcinogenesis 1993; 13: 1035–8.



FACULDADE DE CIÊNCIAS MÉDICAS
COMITÊ DE ÉTICA EM PESQUISA

☑ Caixa Postal 6111, 13083-970 Campinas, SP
 ☎ (0_19) 3788-8936
 FAX (0_19) 3788-7187
 ⑤ www.fcm.unicamp.br/pesquisa/etica/index.html
 ☑ cep@fcm.unicamp.br

CEP, 26/07/05. (Grupo III)

PARECER PROJETO: N° 365/2005 CAAE: 0163.0.146.000-05

I-IDENTIFICAÇÃO:

PROJETO: "AVALIAÇÃO DOS POLIMORFISMOS M1 E M2 NO GENE CYP1A1, G1934A E A2637DEL NO GENE CYP2D6 E [TTTA]N NO GENE CYP19 EM UMA AMOSTRA DE MULHERES COM CÂNCER DE MAMA ESPORÁDICO".

PESQUISADOR RESPONSÁVEL: Lidiane Camila Rueda INSTITUIÇÃO: Departamento de Genética Médica - FCM UNICAMP APRESENTAÇÃO AO CEP: 08/07/2005

APRESENTAÇÃO AO CEP: 08/07/2005 APRESENTAR RELATÓRIO EM: 26/07/06

II - OBJETIVOS

Avaliar, em uma população de portadores de câncer de mama onde as mutações nos genes BRCAI e BRCAII já foram analisadas, investigar a presença de (a) mutações m1 e m2 no gene CYP1A1, (b) mutação G1934A e A2637del no gene CYP2D6 e (c) a mutação [TTTAn] no gene CYP19. A presença destas mutações será correlacionada com o grau histológico dos tumores e a apresentação clínica da doença, além de correlacioná-las com possíveis mutações nos genes BRCA1 e BRCA2.

III - SUMÁRIO

Estudo observacional, prospectivo e analítico, que analisará 200 indivíduos divididos em 2 grupos (1) pacientes portadores de câncer de mama sem histórico familiar e (2) indivíduos sem diagnóstico de câncer de mama e sem histórico familiar. A avaliação destas novas mutações parte do racional de que vários genes estão envolvidos na susceptibilidade de desenvolver câncer de mama e que polimorfismos que afetariam o metabolismo de drogas poderia ser um deles, uma vez que permitiriam a maior exposição a fármacos com efeito mutagênico. Destes genes, os genes CYP1A1, CYP2D6 E CYP19, associados ao metabolismo do citocromo p450 já foram analisados em algumas populações, e mostraram associação positiva com câncer de mama. Na população alvo deste estudo, a frequência destas mutações não é conhecida, nem a possível associação com ca de mama e/ou mutações dos genes BRCA1 e BRCA2. Para testar esta hipótese, o pesquisador utilizará material (amostras de DNA) coletadas de pacientes de projeto anterior (onde as mutações dos genes BRCA1 e BRCA2 estarão sendo analisadas em paralelo) e que se encontram estocadas sob responsabilidade do orientador deste projeto. Todas as mutações serão analisadas através de reação em cadeia de polimerase, utilizando primers específicos. Os critérios de inclusão e exclusão dos sujeitos de pesquisa são definidos no texto, e os dados coletados dos prontuários médicos serão utilizados baseados no estudo anterior.

IV - COMENTÁRIOS DOS RELATORES

Trata-se de estudo complementar a estudo anterior, visando analisar novas mutações e sua relação com a susceptibilidade ao câncer de mama. Como serão utilizadas amostras previamente coletadas e estocadas sob responsabilidade do orientador do projeto, o pesquisador solicita dispensa de termo de consentimento. A metodologia é adequada, e o pesquisador compromete-se a manter o sigilo sobre os sujeitos de pesquisa, além de garantir a divulgação dos resultados. Trata-se de projeto de mestrado, com orçamento previsto de R\$50.000,00, mas não há referência de solicitação de auxílio pesquisa para execução do mesmo.

V - PARECER DO CEP

O Comitê de Ética em Pesquisa da Faculdade de Ciências Médicas da UNICAMP, após acatar os pareceres dos membros-relatores previamente designados para o presente caso e atendendo todos os dispositivos das Resoluções 196/96 e complementares, bem como ter aprovado o Termo do Consentimento Livre e Esclarecido, assim como todos os anexos incluídos na Pesquisa, resolve aprovar sem restrições o Protocolo de Pesquisa supracitado.

O conteúdo e as conclusões aqui apresentados são de responsabilidade exclusiva do CEP/FCM/UNICAMP e não representam a opinião da Universidade Estadual de Campinas nem a comprometem.

VI - INFORMAÇÕES COMPLEMENTARES

O sujeito da pesquisa tem a liberdade de recusar-se a participar ou de retirar seu consentimento em qualquer fase da pesquisa, sem penalização alguma e sem prejuízo ao seu cuidado (Res. CNS 196/96 – Item IV.1.f) e deve receber uma cópia do Termo de Consentimento Livre e Esclarecido, na íntegra, por ele assinado (Item IV.2.d).

Pesquisador deve desenvolver a pesquisa conforme delineada no protocolo aprovado e descontinuar o estudo somente após análise das razões da descontinuidade pelo CEP que o aprovou (Res. CNS Item III.1.z), exceto quando perceber risco ou dano não previsto ao sujeito participante ou quando constatar a superioridade do regime oferecido a um dos grupos de pesquisa (Item V.3.).

O CEP deve ser informado de todos os efeitos adversos ou fatos relevantes que alterem o curso normal do estudo (Res. CNS Item V.4.). É papel do pesquisador assegurar medidas imediatas adequadas frente a evento adverso grave ocorrido (mesmo que tenha sido em outro centro) e enviar notificação ao CEP e à Agência Nacional de Vigilância Sanitária – ANVISA – junto com seu posicionamento.

Eventuais modificações ou emendas ao protocolo devem ser apresentadas ao CEP de forma clara e sucinta, identificando a parte do protocolo a ser modificada e suas justificativas. Em caso de projeto do Grupo I ou II apresentados anteriormente à ANVISA, o pesquisador ou patrocinador deve enviá-las também à mesma junto com o parecer aprovatório do CEP, para serem juntadas ao protocolo inicial (Res. 251/97, Item III.2.e)

Relatórios parciais e final devem ser apresentados ao CEP, de acordo com os prazos estabelecidos na Resolução CNS-MS 196/96.

VII - DATA DA REUNIÃO

Homologado na VII Reunião Ordinária do CEP/FCM, em 26 de julho de 2005.

Prof. Dr. Sebastião Araújo
VICE-PRESIDENTE DO COMITÊ DE ÉTICA EM PESQUISA

FCM / UNICAMP



UNIVERSIDADE ESTADUAL DE CAMPINAS Departamento de Genética Médica

TERMO DE CONSENTIMENTO LIVRE E ESCLARECIDO

Título do projeto: "Avaliação de polimorfismos nos genes *CYP1A1*, *CYP2D6* e *CYP19* em uma amostra de pacientes com câncer de mama esporádico"

OBJETIVO DA PESQUISA:

Eu entendo que fui convidado a participar em um projeto de pesquisa envolvendo indivíduos com Câncer de Mama. O objetivo geral do estudo é o de procurar portadores de polimorfismos nos genes *CYP1A1*, *CYP2D6 e CYP19*, que podem contribuir para o quadro clínico de câncer de mama. O sigilo será mantido em todo o estudo através da utilização de um número de código para a identificação dos indivíduos participantes.

PROCEDIMENTO:

Eu entendo que se concordar em participar desse estudo, os pesquisadores participantes farão perguntas a respeito dos meus antecedentes médicos e familiares. Será colhida uma amostra de sangue venoso (30 mL, o equivalente a dez colheres de sopa). Hospitalização não será necessária.

RISCO E DESCONFORTO:

Uma coleta de 30 mL de sangue venoso será efetuada. Os riscos associados a esse procedimento são mínimos, podendo ocorrer dor e manchas roxas (equimoses) no local da coleta do sangue. O desconforto será mínimo, pois se trata de uma coleta de sangue geralmente da veia do braço que será realizado por profissional treinado e devidamente habilitado para realizar esse procedimento.

VANTAGENS:

Eu entendo que não obterei nenhuma vantagem direta com a minha participação nesse estudo, a não ser o aconselhamento genético para esta mutação. Fui informado que se for detectada alguma alteração gênica, serei imediatamente comunicado, sendo que todas as conseqüências serão devidamente explicadas e meus parentes próximos, se assim desejarem, poderão realizar o exame. Qualquer dúvida ou informação poderá contatar a UNICAMP no tel. (019) 3521-8907 (Profa. Dra. Carmen Silvia Bertuzzo).

SIGILO:

Eu entendo que toda informação médica, assim como os resultados dos testes genéticos decorrentes desse projeto de pesquisa, serão submetidos aos regulamentos do HC-UNICAMP referentes ao sigilo da informação médica. Se os resultados ou informações fornecidas forem utilizados para fins de publicação científica, nenhum nome será utilizado.

FORNECIMENTO DE INFORMAÇÃO ADICIONAL:

Em caso de recurso, dúvidas ou reclamações contatar a secretaria do Comitê de Ética da Faculdade de Ciências Médicas-UNICAMP, tel. (019) 3521-8936.

RECUSA OU DESCONTINUAÇÃO DA PARTICIPAÇÃO:

Eu entendo que a minha participação é voluntária e que eu posso me recusar a participar ou retirar meu consentimento e interromper a minha participação no estudo a qualquer momento (incluindo a retirada da amostra de sangue) sem comprometer os cuidados médicos que recebo atualmente ou receberei no futuro no HC-UNICAMP.

Eu confirmo que o (a) Dr. (a)	explicou-me o objetivo do
estudo, os procedimentos aos quais serei submetido e os	riscos ou desconfortos advindos desse projeto de
pesquisa. Eu li e/ou me foi explicado, assim como compre	eendi esse formulário de consentimento e estou de
pleno acordo em participar desse estudo.	
Nome e RG participante (ou responsável)	Data
Assinatura do participante (ou responsável)	Data

RESPONSABILIDADE DO PESQUISADOR:

Eu expliquei a				0	objetivo o	do
estudo, os procedimentos requeridos e os po-	ssíveis riscos qu	ie poderão ad	lvir do estudo	o, usando	o melhor	do
meu conhecimento. Eu me comprometo a	fornecer uma	cópia desse	formulário	de conse	entimento	ao
participante ou responsável.						
Nome e RG do pesquisador		 		-		
Assinatura do pesquisador	Data					



UNIVERSIDADE ESTADUAL DE CAMPINAS

Departamento de Genética Médica

FICHA DE COLETA DE DADOS

Título do projeto: "Avaliação de polimorfismos nos genes *CYP1A1*, *CYP2D6* e *CYP19* em uma amostra de pacientes com câncer de mama esporádico"

Dados pessoais:			
Número do caso:	_ Matrícula (HC):		
Nome:		Fone:	
Endereço:			-
Bairro:	Cidade:	CEP:	-
Nacionalidade:	Origem étnica:		
Data de nascimento:	_		
Data da entrevista:			
Informações clínicas pessoais:			
CARCINOMA DE MAMA:	••••••	(_) SIM (_	_) NÃO
CARCINOMA BILATERAL:		(_) SIM (_	_) NÃO
Outro Carcinoma: () Sim ()) Não		
() Ovário () Cólon () Pró	stata		

()
Possui filhos: () Sim () Não
Quantos?
Idade da 1ª () e última gestação ().
Informações clínicas familiares:
Familiares com carcinoma de mama: () Sim () Não
Grau de parentesco:
1° grau: () mãe () pai () irmã () irmão () filha (o)
2° grau: () avô () avó () tio (a) () primo (a) () neto (a)
3° grau Quantos?
Familiares com outro carcinoma: () Sim () Não
Qual?
Consangüinidade: Quem?
Heredograma:
Observações:

Laudo anátomo-patológico
Número do Exame I I Emissão I_I_I_I_I_I
Exame microscópico:
Tipo histológico predominante () Ca ductal <i>in situ</i> () Ca lobular <i>in situ</i> () Doença de Paget do mamilo sem tumor associado () Ca ductal invasivo () Ca ductal invasivo com componente intraductal predominante () Ca lobular invasivo () Ca tubular () Ca mucoso(colóide) () Ca medular () Ca papilífero () Ca inflamatório
() Outro
Subtipo histológico do carcinoma intraductal ()Comedo () Cribiforme () Intracístico
() Micropapilífero ()Sólido ()Papilífero ()Aderente clinging
()Não avaliável
()Outro
Gradação (do carcinoma invasivo e <i>in situ</i>)
() Grau 1 () Grau 2 () Grau 3 () Não aplicável
Laudo imunoistoquímico:
Número do Exame I I Emissão I_I_I_I_I_I
Receptores estrogênicos () Positivo () Negativo
Expressão da proteína c-erb-B2 () Positivo () Negativo
Observações:

Lista de Resultados dos Controles

		CYP1A	11	C	CYP19		
NUMGENET	IDADE	m1	m2	*3	*4	alelo 1	alelo 2
0001/04	35	Heterozigoto	Normal	Normal	Heterozigoto	173	189
0002/04	27	Normal	Normal	Normal	Heterozigoto	170	189
0881/04	55	Normal	Normal	Normal	Heterozigoto		
1053/04	22	Normal	Normal	Normal	Normal	170	170
1054/04	21	Normal	Normal	Normal	Normal	170	185
1055/04	46	Normal	Normal	Normal	Normal	170	185
1090/03	49	Normal	Normal	Normal	Heterozigoto	170	170
1097/03	56	Normal	Normal	Normal	Heterozigoto		
1098/03	37		Heterozigoto	Heterozigoto	Normal	170	170
1099/03	39	Normal	Normal	Normal	Heterozigoto	170	170
1100/03	47	Normal	Normal	Normal	Heterozigoto	170	170
1101/03	30	Normal	Normal	Normal	Normal	173	189
1102/03	46	Normal	Heterozigoto	Normal	Normal		
1108/03	36	Normal	Normal	Heterozigoto	Normal	170	173
1113/03	43		Normal	Normal	Normal		
1116/03	23	Heterozigoto	Normal	Normal	Normal	173	193
1118/03	23	Homozigoto Mutante	Homozigoto Mutante	Normal	Normal		
1120/03	42		Normal	Normal	Normal	189	189
1122/03	23	Heterozigoto	Normal	Normal	Normal		
1125/03	35		Heterozigoto	Normal	Normal	170	189
1128/03	58	Heterozigoto	Heterozigoto	Normal	Normal Heterozigoto		173
1129/03	41	Normal	Normal	Normal	Normal Heterozigoto		189
1132/03	45	Normal	Heterozigoto	Normal	Normal	170	170
1133/03	51	Normal	Normal	Normal	Normal	170	170
1135/03	56		Normal	Normal	Heterozigoto		
1136/03	52	Normal	Normal	Normal	Normal		

		CYP1A	11		CYP19		
NUMGENET	IDADE	m1	m2	*3	*4	alelo 1	alelo 2
1137/03	30	Normal	Normal	Normal	Heterozigoto		
1139/03	42	Normal	Normal	Normal	Heterozigoto		
1140/03	39		Normal	Heterozigoto	Normal	170	189
1141/03	24	Normal	Normal	Normal	Normal	170	170
1142/03	27		Normal	Normal	Normal	177	177
1153/03	33		Normal	Normal	Normal	173	173
1155/03	28	Normal	Normal	Normal	Heterozigoto		
1164/03	27		Normal	Normal	Normal	170	177
1166/03	57		Normal	Normal	Heterozigoto	170	170
1521/03	63	Heterozigoto	Heterozigoto	Normal	Normal		
1530/03	58	Normal	Normal	Normal	Heterozigoto		
1532/03	42	Normal	Normal	Normal	Heterozigoto	170	173
1536/03	23	Normal	Normal	Normal	Normal	170	189
1538/03	40		Heterozigoto	Normal	Heterozigoto		
1541/03	41	Heterozigoto	Normal	Normal	Heterozigoto	170	170
1542/03	57	Heterozigoto	Normal	Normal	Normal		
1545/03	51	Normal	Normal	Normal	Normal	173	177
1547/03	47	Homozigoto Mutante	Normal	Normal	Normal	170	170
1548/03	61	Normal	Normal	Normal	Normal	173	189
1550/03	40	Normal	Normal	Normal	Heterozigoto	189	193
1552/03	100	Heterozigoto	Heterozigoto	Normal	Homozigoto Mutante	189	189
1565/03	48	Normal	Normal	Normal	Normal	170	170
1566/03	37	Normal	Normal	Normal	Heterozigoto	173	189
1567/03	27	Normal	Normal	Normal	Normal		
1568/03	44	Homozigoto Mutante	Normal	Normal	Heterozigoto	173	177
1571/03	45	Heterozigoto	Heterozigoto	Normal	Normal	173	173
1572/03	61	Normal	Normal	Normal	Normal	173	177
1653/03	47	Normal	Normal	Normal	Normal	173	189

		CYPIA	A1		CYP19		
NUMGENET	IDADE	m1	m2	*3	*4	alelo 1	alelo 2
1654/03	47	Normal	Normal	Normal	Normal	170	177
1656/03	42	Heterozigoto	Normal	Normal	Normal	170	170
1657/03	45	Heterozigoto	Heterozigoto	Normal	Normal	170	173
1658/03	36	Homozigoto Mutante	Normal	Normal	Homozigoto Mutante	170	189
1665/03	50	Normal	Normal	Normal	Heterozigoto	173	189
1666/03	41	Normal	Normal	Normal	Normal	173	189
1667/03	53	Normal	Normal	Normal	Normal	170	173
1668/03	52	Heterozigoto	Normal	Normal	Normal	170	189
1673/03	51	Normal	Normal	Normal	Normal	170	173
1674/03	62	Homozigoto Mutante	Homozigoto Mutante	Normal	Normal	170	173
1676/03	44	Normal	Normal	Normal	Normal	170	189
1677/03	45	Heterozigoto	Heterozigoto	Normal	Normal	170	189
1678/03	55	Normal	Normal	Normal	Normal	173	189
1679/03	52	Normal	Normal	Normal	Normal	189	189
1680/03	48	Normal	Normal	Normal	Normal	177	189
1699/03	52	Normal	Normal	Normal	Normal	177	189
1700/03	45	Normal	Normal	Normal	Normal	170	173
1701/03	76	Normal	Normal	Heterozigoto	Normal	170	177
1727/03	39	Heterozigoto	Heterozigoto	Heterozigoto	Normal	170	170
1728/03	44	Normal	Normal	Normal	Normal	173	177
1729/03	61	Normal	Normal	Normal	Normal	170	170
1730/03	53	Normal	Normal	Normal	Heterozigoto	170	193
1731/03	45	Normal	Normal	Normal	Heterozigoto	170	189
1732/03	32	Normal	Normal	Normal	Heterozigoto	170	170
1734/03	69	Heterozigoto	Heterozigoto	Normal	Normal	170	177
1735/03	67	Normal	Normal	Normal	Normal		
1736/03	31	Normal	Normal	Normal	Heterozigoto	189	189
1743/03	59	Normal	Normal	Normal	Normal		

		CYP1A1		(CYP19		
NUMGENET	IDADE	m1	m2	*3	*4	alelo 1	alelo 2
1744/03	42	Heterozigoto	Heterozigoto	Normal	Normal	177	189
1745/03	42	Heterozigoto	Heterozigoto	Normal	Normal	170	173
1750/03	65	Heterozigoto	Heterozigoto	Normal	Normal	170	173
1751/03	49	Normal	Normal	Normal	Normal	170	173
1752/03	22	Normal	Normal	Normal	Normal	173	189
1753/03	47	Normal	Normal	Normal	Normal	173	185
1754/03	22	Heterozigoto	Heterozigoto	Normal	Heterozigoto		
1755/03	41	Normal	Normal	Normal	Normal	170	170
1756/03	43	Heterozigoto	Heterozigoto	Normal	Normal	173	177
1758/03	41	Normal	Normal	Normal	Heterozigoto	170	173
1759/03	74	Heterozigoto	Normal	Normal	Normal	173	177
1762/03	38	Heterozigoto	Heterozigoto	Normal	Normal	189	189
1763/03	43	Normal	Normal	Normal	Normal	170	170
1764/03	49	Normal	Normal	Normal	Normal	189	189
1766/03	38	Normal	Normal	Normal	Normal	173	181
1767/03	39	Normal	Normal	Normal	Heterozigoto	170	189
1768/03	42	Normal	Normal	Normal	Normal	189	189
1769/03	42	Normal	Normal	Normal	Heterozigoto	170	193
1770/03	40	Heterozigoto	Normal	Normal	Heterozigoto	173	189
1771/03	33	Homozigoto Mutante	Heterozigoto	Normal	Normal	185	189
1772/03	41	Normal	Normal	Normal	Heterozigoto	189	193
1774/03	42	Normal	Normal	Normal	Normal		
1775/03	39	Heterozigoto	Normal	Normal	Normal		
1776/03	42	Normal	Normal	Normal	Normal	170	173
1795/03	25	Normal	Normal	Normal	Heterozigoto	170	170
1802/03	50	Normal	Normal	Normal	Heterozigoto	170	189
1803/03	42	Normal	Normal	Normal	Normal		
1805/03	53	Normal	Normal	Normal	Heterozigoto	170	189
1809/03	42	Heterozigoto	Heterozigoto	Normal	Normal	173	173

		CYP1	A1		CY	CYP19		
NUMGENET	IDADE	m1	m2	*3	*4	alelo 1	alelo 2	
1912/03	32	Normal	Normal	Normal	Heterozigoto			
1913/03	0		Normal	Normal	Heterozigoto	170	177	
1914/03	0	Normal	Normal	Normal	Normal			
1922/03	29	Normal	Normal	Normal	Normal			
1924/03	35	Normal	Normal	Normal	Heterozigoto	170	173	
1926/03	29	Normal	Normal	Normal	Normal	170	177	
1928/03	22	Heterozigoto	Normal	Normal	Heterozigoto			
1929/03	21	Heterozigoto	Normal	Normal	Heterozigoto			
1934/03	29	Normal	Normal	Normal	Normal			

Legenda das tabelas

NUMGENET = Número do indivíduo;

IDADE = Idade do Indivíduo;

IDADIAG = Idade do diagnóstico do carcinoma da mama;

CARCIBI = Carcinoma bilateral;

TIPOHIST = Tipo histológico do carcinoma de mama;

SUBINTRA = Subtipo histológico do carcinoma intraductal;

GRADAÇ = Gradação (do carcinoma invasivo);

RE = Receptor de estrógeno;

RP = Receptor de progesterona;

Tipo histológico:

(0) Sem carcinoma; (1) Ca ductal *in situ;* (2) Ca lobular *in situ;* (3) Doença de Paget do mamilo sem tumor associado; (4) Ca ductal invasivo; (5) Ca ductal invasivo com componente intraductal predominante; (6) Ca lobular invasivo; (7) Ca tubular; (8) Ca mucoso(colóide); (9) Ca medular; (10) Ca papilífero; (11) Ca inflamatório; (12) Outro.

Subtipo histológico do carcinoma intraductal:

- (1) Comedo; (2) Cribiforme; (3) Intracístico; (4) Micropapilífero; (5) Sólido; (6) Papilífero;
- (7) Aderente clinging; (8) Não avaliável. (9) Outro.

Gradação (do carcinoma invasivo e in situ):

(1) Grau 1; (2) Grau 2; (3) Grau 3; (4) Não aplicável.

Receptores estrogênicos:

(1) Positivo; (2) Negativo; (3) ca bilateral mais em uma mama que na outra.

ANEXO 6
Lista de Resultados dos Pacientes com Câncer de Mama

								CYP1A1		CYP1A1 CYP2D6		CYP19	
NUNGENET	IDADIAG	CARCINBI	TIPOHIST	SUBINTRA	GRADAC	RE	RP	m1	m2	*3	*4	ALELO1	ALELO2
0142/04	55	N	1	9	3	0	0	Normal	Normal	Normal	Heterozigoto	177	189
0322/04	52	N	1	1	3	0	0	Normal	Normal	Normal	Heterozigoto	170	189
0329/04	50	N	4	8	2	2	2	Heterozigoto	Heterozigoto	Normal	Normal		
0331/04	41	N	4	8	3	0	0	Heterozigoto	Normal	Normal	Normal	173	173
0332/04	38	N	1	8	3	0	0	Heterozigoto	Heterozigoto	Normal	Normal		
0368/04	45	N	4	4	3	1	1	Normal	Normal	Normal	Normal		
0425/04	37	N	4	8	5	1	1	Heterozigoto	Normal	Normal	Normal		
0430/04	39	N	4	8	3	2	1	Normal	Normal	Normal	Normal	170	189
0431/04	45	N	4	8	2	0	0	Normal	Normal	Normal	Normal		
0432/04	48	S	4	8	2	1	1	Heterozigoto	Heterozigoto	Normal	Normal	170	170
0444/04	29	N	4	1	3	1	1	Normal	Normal	Normal	Normal	173	189
0478/04	45	N	4	8	3	2	1	Normal	Normal	Normal	Heterozigoto	173	173
0519/04	31	N	4	8		1	1	Normal	Normal	Normal	Normal	177	189
0715/04	27	N	4	8	3	2	2	Normal	Normal	Normal	Normal	177	189
0720/04	43	N	4	8	3	2	2	Normal	Normal	Normal	Normal		
0721/04	26	N	4	8	2	0	0	Normal	Normal	Normal	Normal		
0724/04	47	N	4	8	2	1	1	Heterozigoto	Heterozigoto	Normal	Normal	170	189
0742/04	54	N	4	8	2	1	1	Heterozigoto	Heterozigoto	Normal	Heterozigoto	170	189
0743/04	49	N	4	8	2	1	1	Normal	Normal	Normal	Heterozigoto		
0746/04	49	N	6					Normal	Normal	Normal	Normal	173	189
0747/04	43	N	4	8	1	0	0	Normal	Normal	Normal	Normal	170	173
0748/04	29	N	4	8	2	0	0	Normal	Normal	Normal	Normal	170	185
0769/04	50	N	6	8	4	0	0	Normal	Normal	Normal	Normal	173	189
0772/04	49	N	9					Homozigoto Mutante	Heterozigoto	Normal	Normal	170	189

Anexos 91	A
--------------	---

NUNGENET	IDADIAG	CARCINBI	TIPOHIST	SUBINTRA	GRADAC	RE	RP	CYP1A1		CYP2D6		CYP19	
								m1	m2	*3	*4	ALELO1	ALELO2
0835/04	40	N	1	8	3	0	0	Normal	Normal	Normal	Normal	173	189
0836/04	43	N	1	8	4	0	0	Normal	Normal	Normal	Normal	170	189
0837/04	40	N	1	8	3	0	0	Normal	Normal	Normal	Normal	173	189
1035/03	43	S	9	0	0	0	0	Normal	Normal	Normal	Normal	173	193
1036/03	46	S	4	0	0	0	0	Normal	Normal	Normal	Normal	170	177
1044/03	23	N	1	1	3	2	2	Heterozigoto	Normal	Normal	Heterozigoto	170	170
1045/03	35	S	6	0	4	1	1	Normal	Normal	Normal	Normal	170	173
1050/03	19	N	12	0	0	0	0	Normal	Normal	Normal	Heterozigoto	173	185
1052/03	29	N	4	0	2	0	0	Heterozigoto	Normal	Normal	Normal	170	189
1077/03	44	N	4	0	0	0	0	Normal	Normal	Normal	Normal	170	170
1080/03	41	S	4	0	3	0	0		Heterozigoto	Heterozigoto	Normal		
1081/03	31	N	1	1	2	1	1	Heterozigoto	Normal	Normal	Heterozigoto	170	170
1087/03	29	N	4	0	3	0	0	Normal	Heterozigoto	Normal	Normal	170	170
1091/03	51	N	6	0	4	1	1	Normal	Normal	Normal	Normal	177	189
1172/03	28	N	4		3			Heterozigoto	Heterozigoto	Normal	Heterozigoto	170	173
1533/03	47	N	10	8	4	0	0	Normal	Normal	Normal	Normal	173	189
1650/03	36	N	4		2	1	1	Heterozigoto	Normal	Heterozigoto	Normal		
1651/03	42	N	12		3			Normal	Normal	Normal	Normal		
1714/03	45	N	4	9	2	1	1	Heterozigoto	Normal	Normal	Heterozigoto	173	189

